

Fig. 1

Fig. 2



Fig. 3A

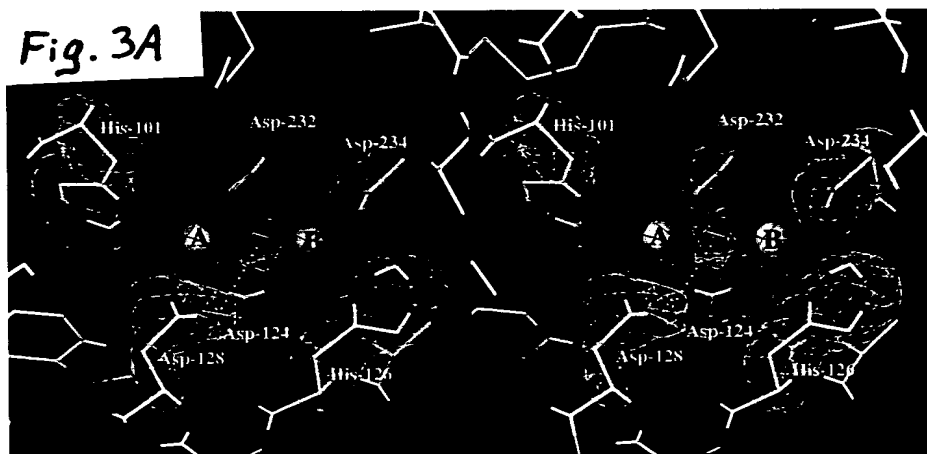
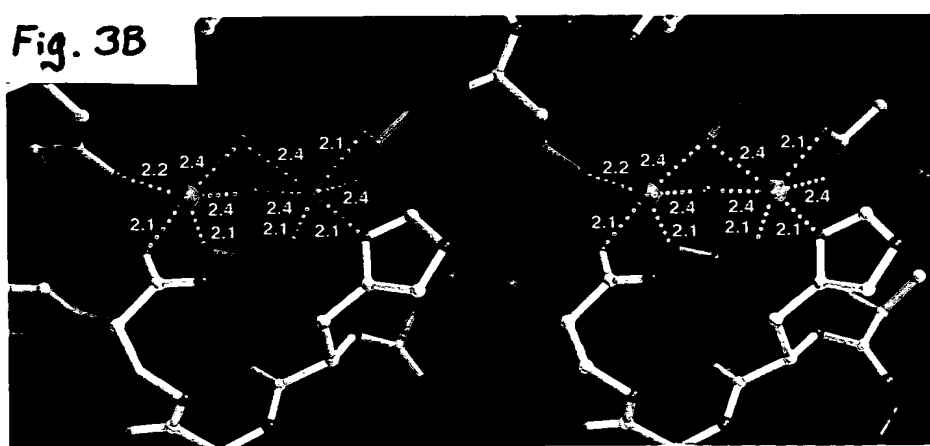


Fig. 3B



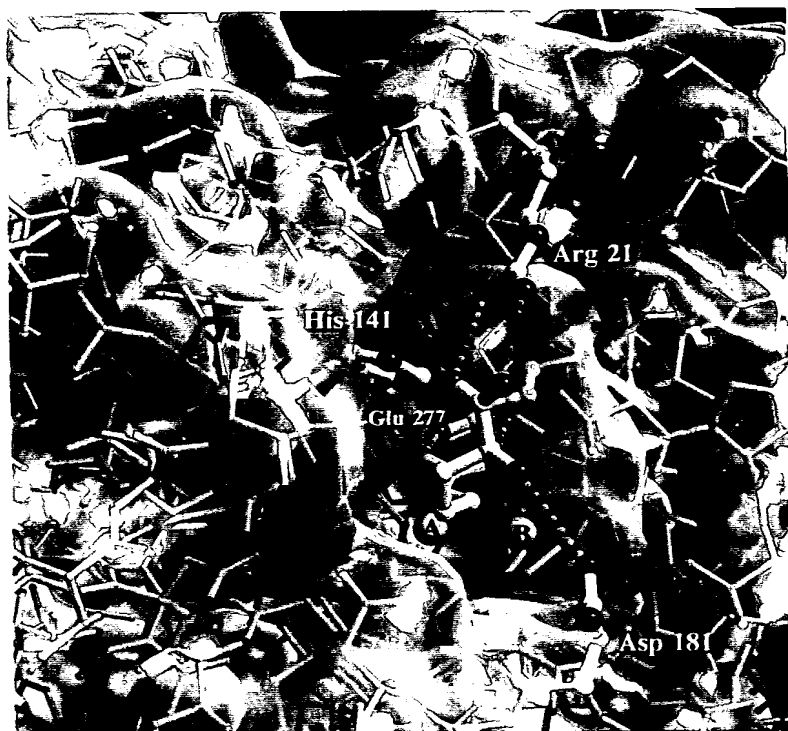


Fig. 4

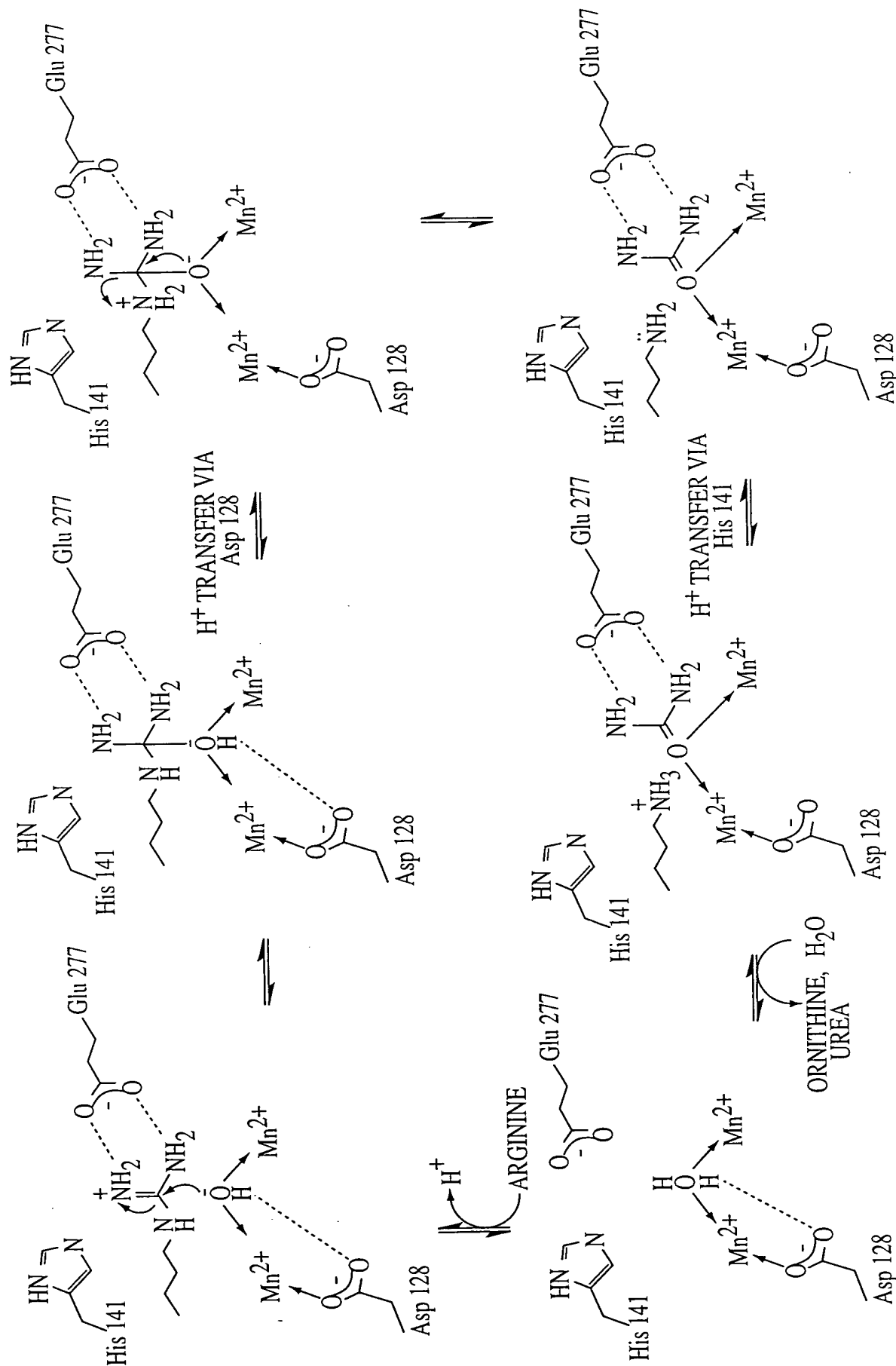


Fig. 5

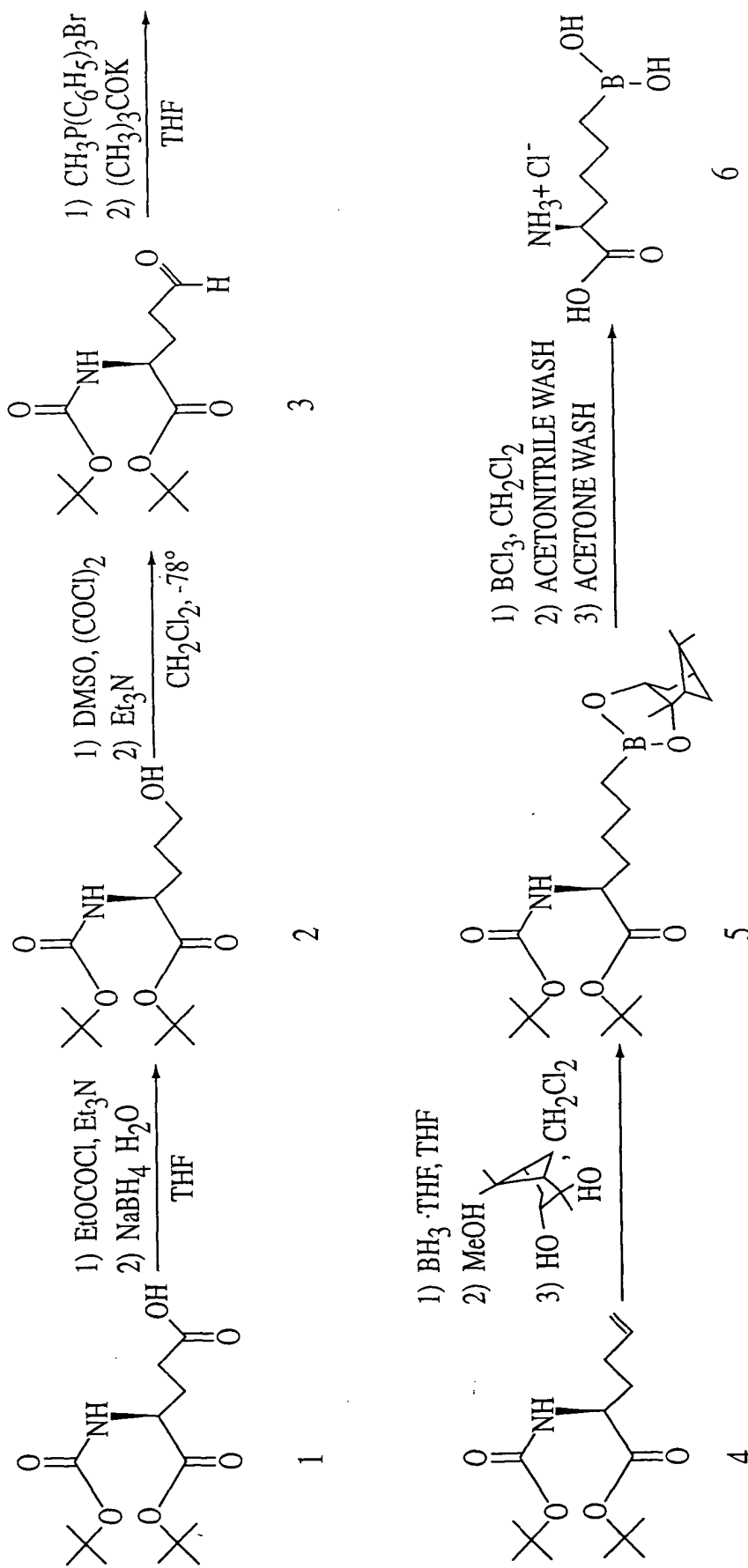


Fig. 6

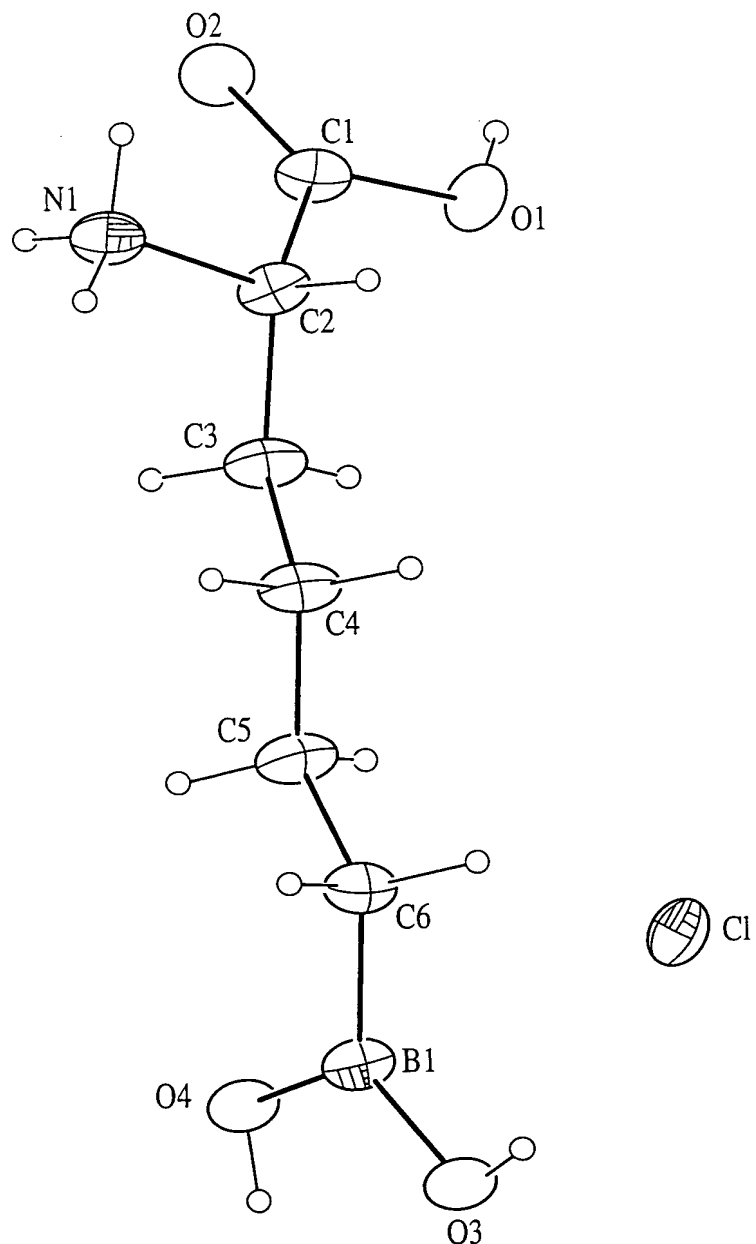


Fig. 7

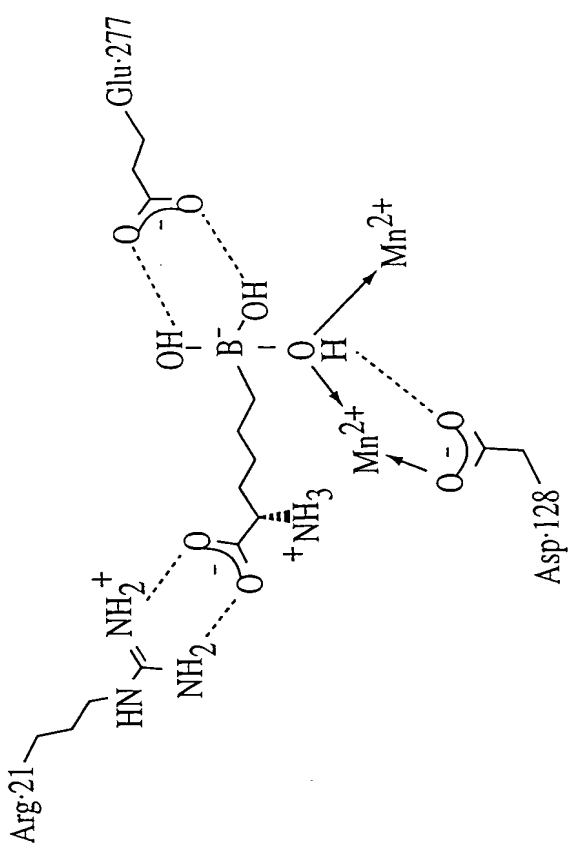


Fig. 8B

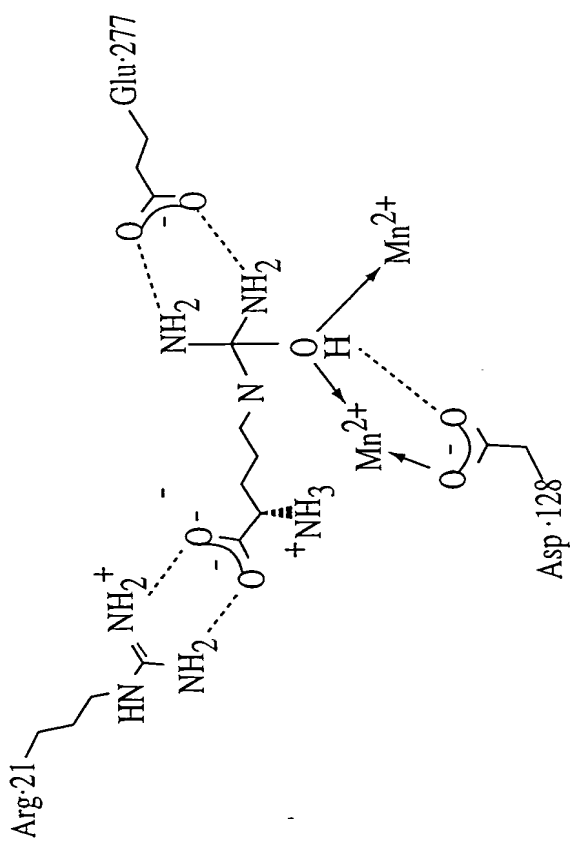


Fig. 8A

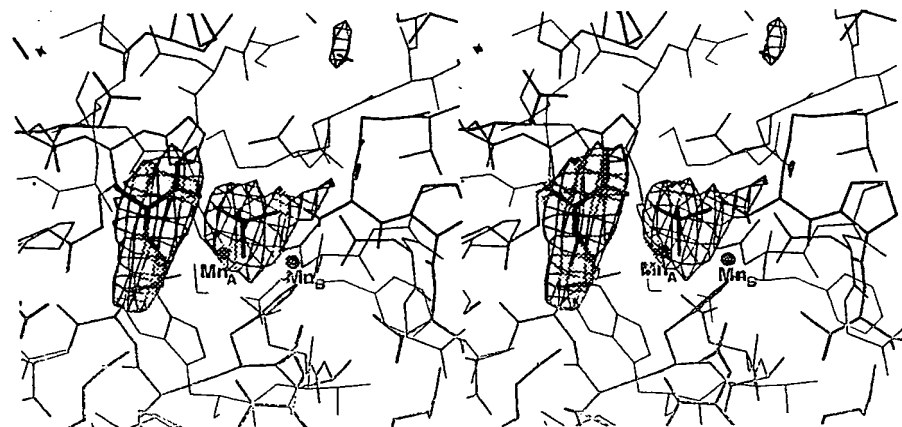


FIG. 9

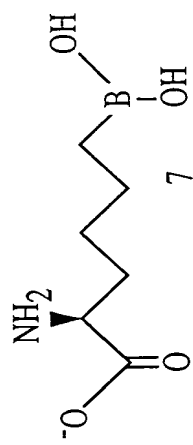


Fig. 10A

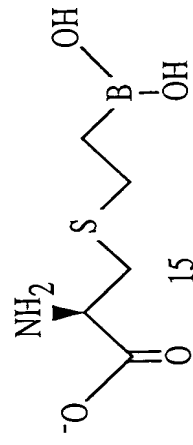


Fig. 10C

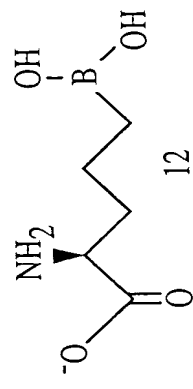


Fig. 10B

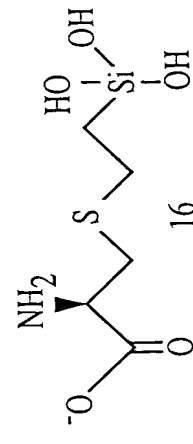


Fig. 10D

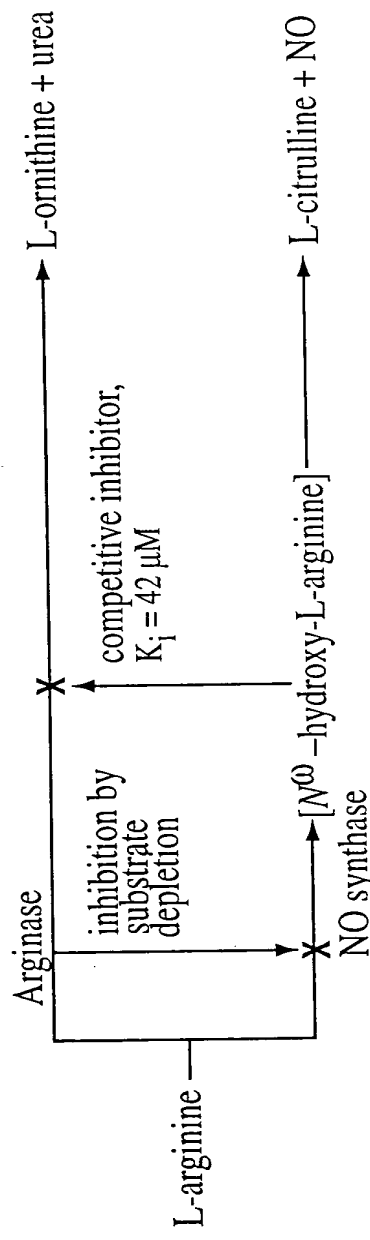


Fig. 11A

10 / 34

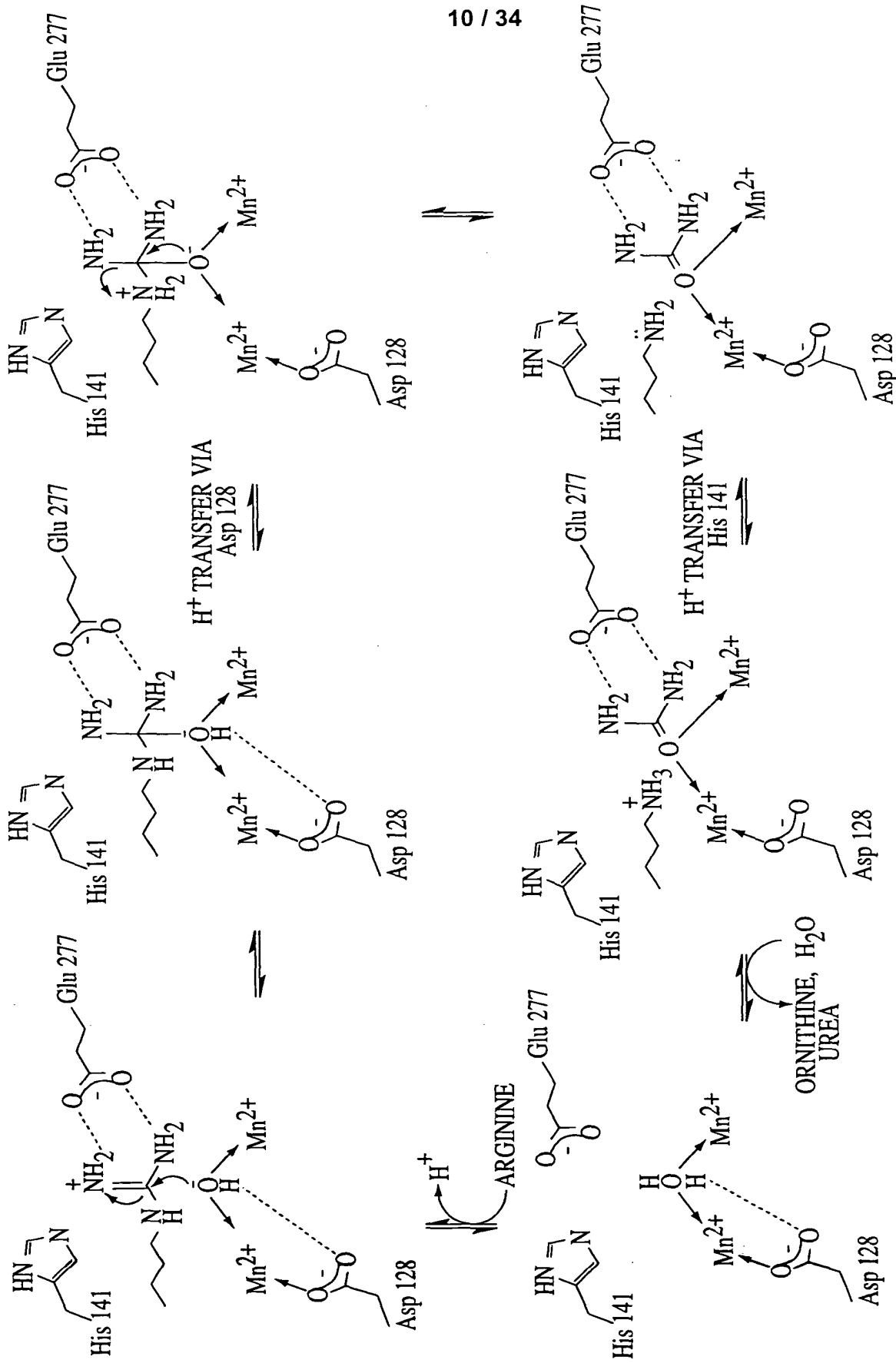


Fig. 11B

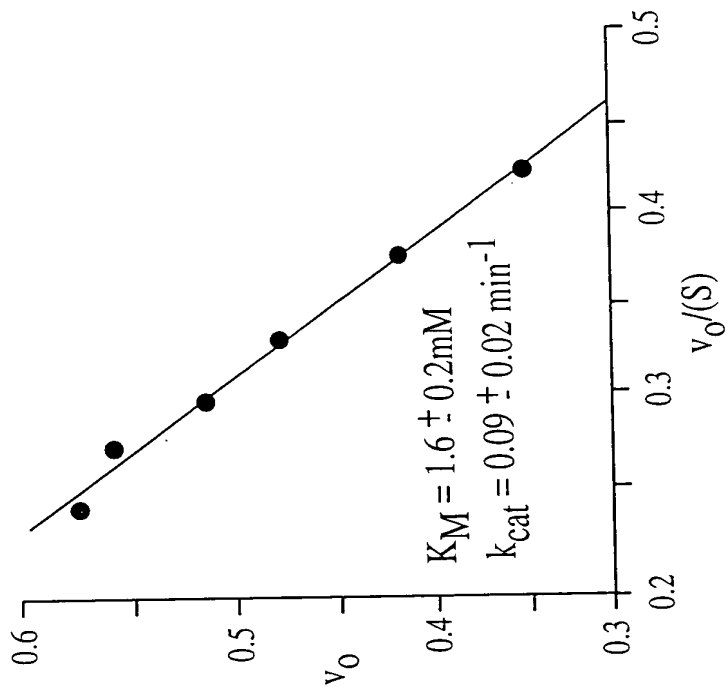


Fig. 12B

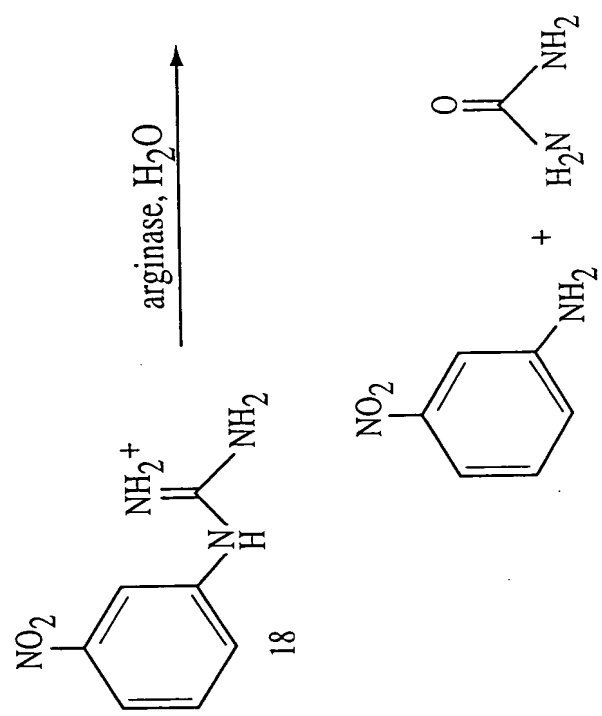


Fig. 12A

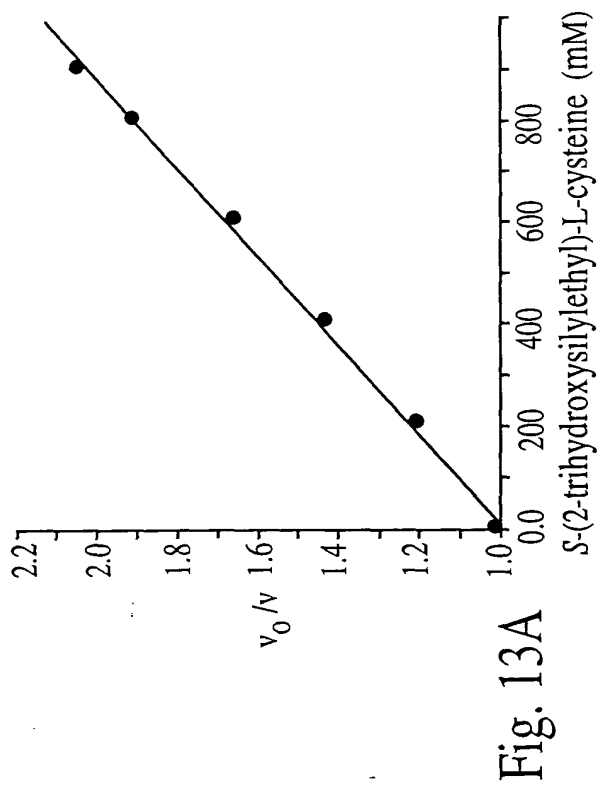


Fig. 13A

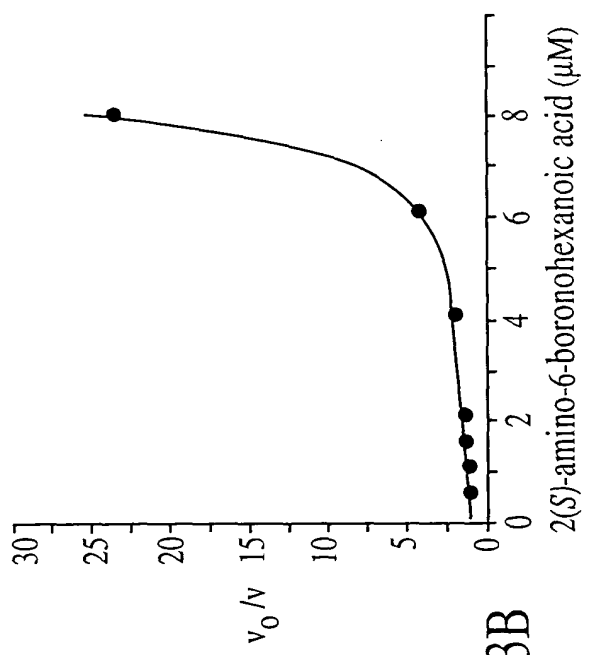


Fig. 13B

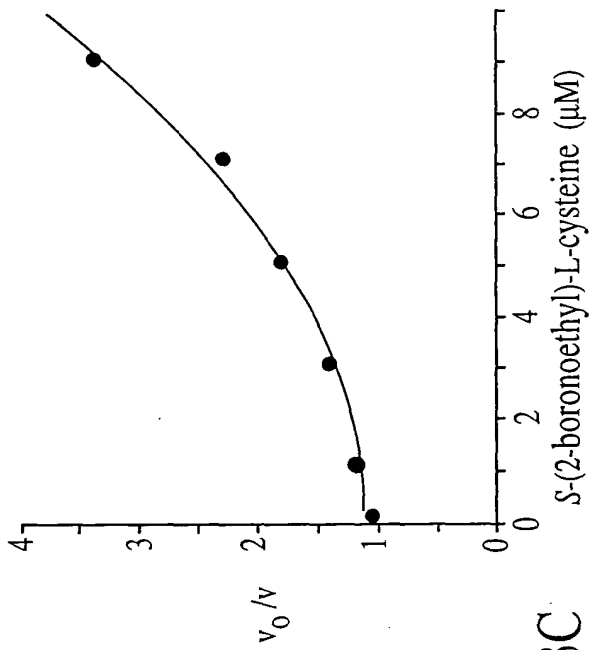


Fig. 13C

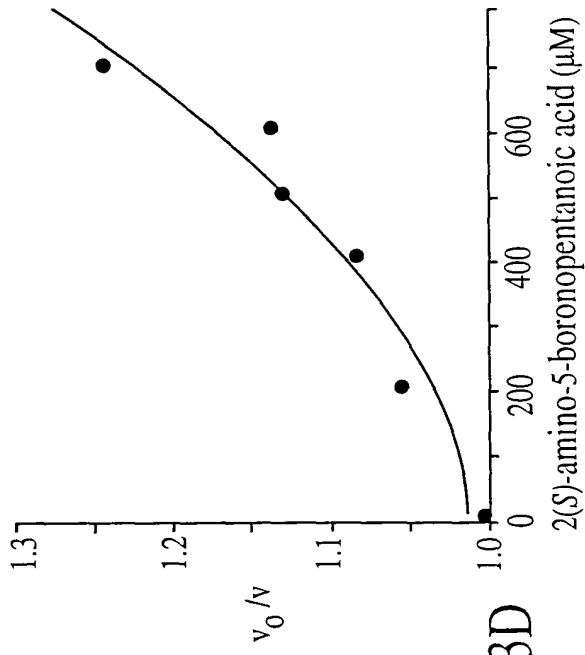


Fig. 13D

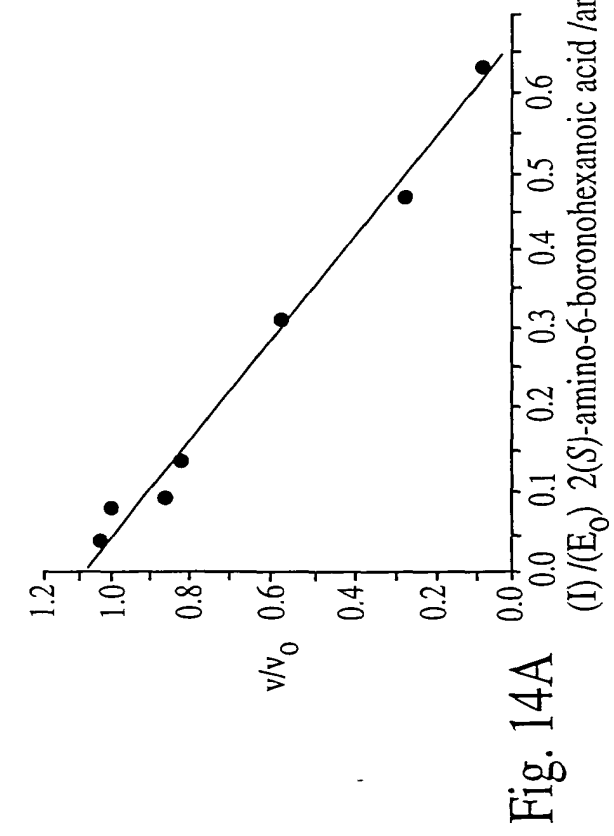


Fig. 14A v/v_0 vs $(I)/(E_0)$ 2(S)-amino-6-boronohexanoic acid /arginase

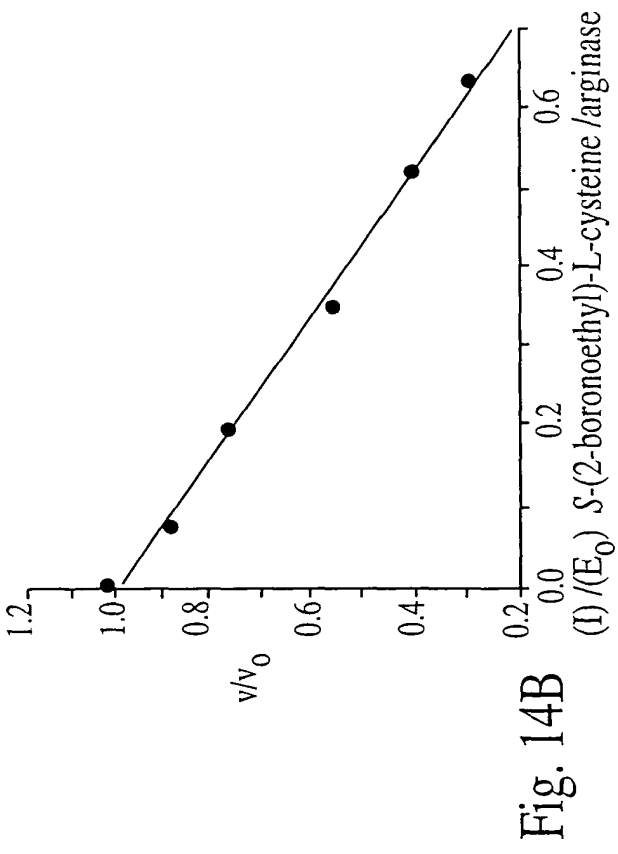


Fig. 14B v/v_0 vs $(I)/(E_0)$ S-(2-boronoethyl)-L-cysteine /arginase

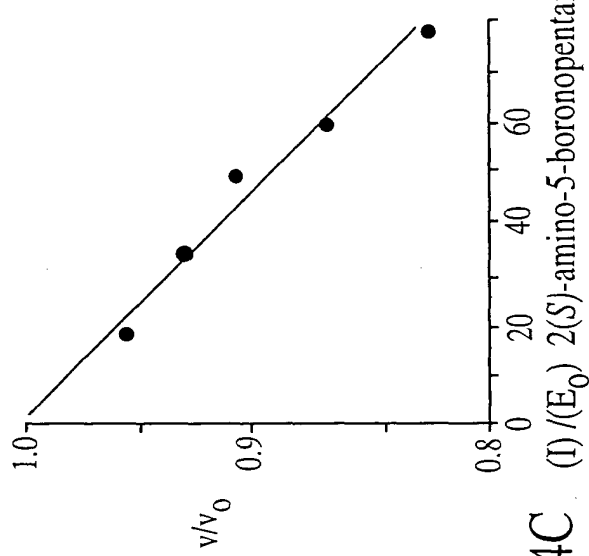


Fig. 14C v/v_0 vs $(I)/(E_0)$ 2(S)-amino-5-boronopentanoic acid /arginase

14 / 34

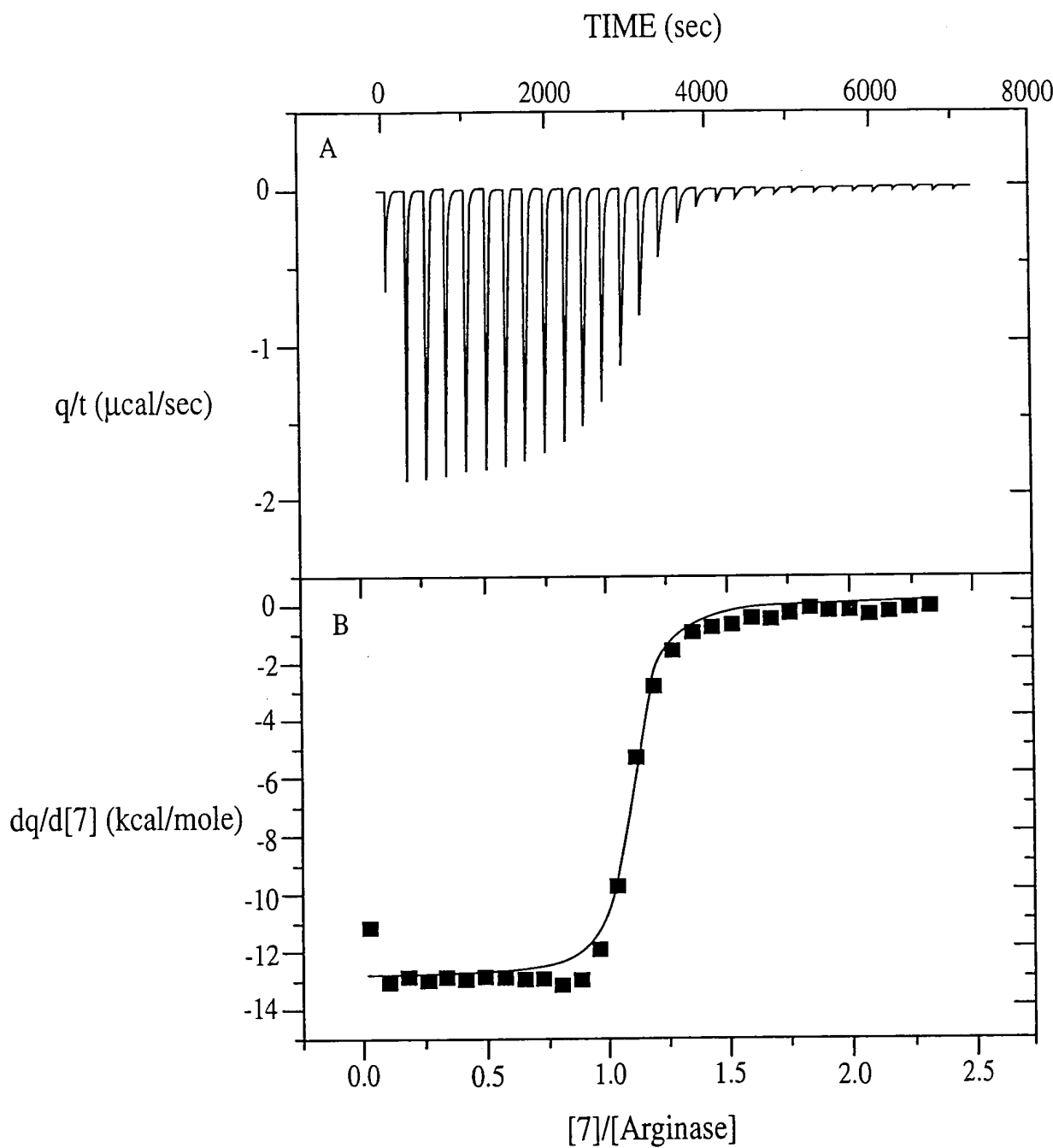


Fig. 15

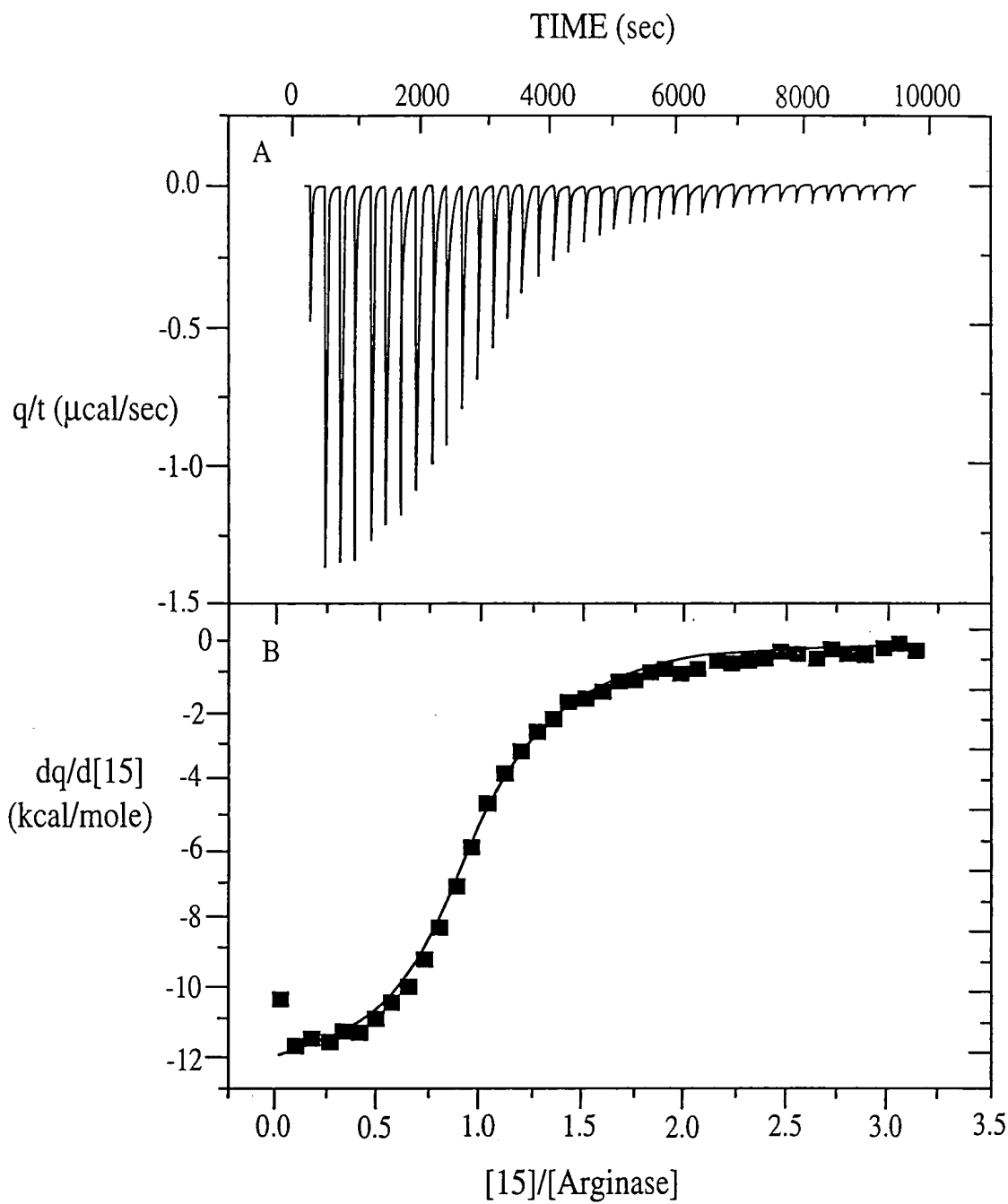
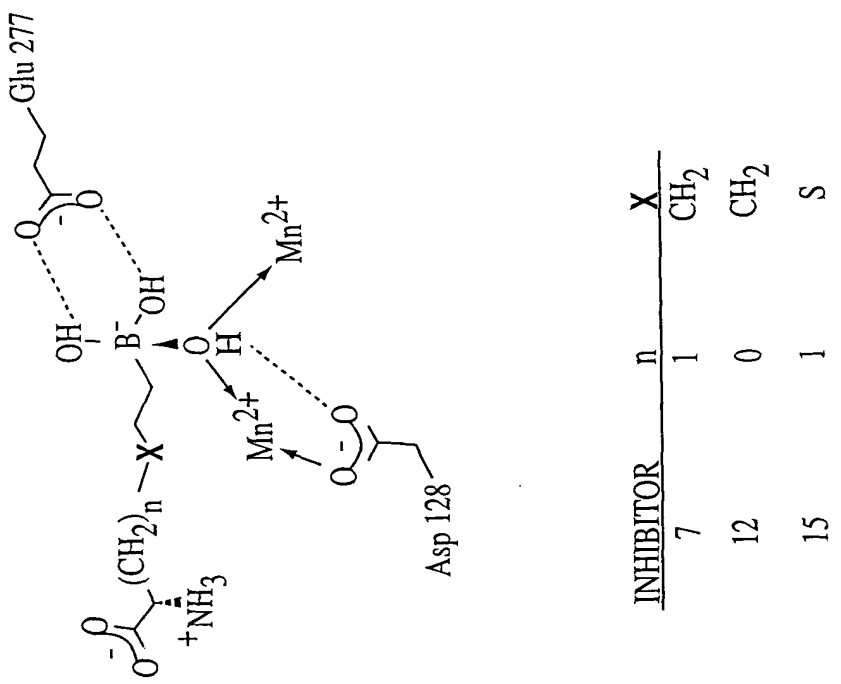


Fig. 16



INHIBITOR	n	X
7	1	CH_2
12	0	CH_2
15	1	S

Fig. 17

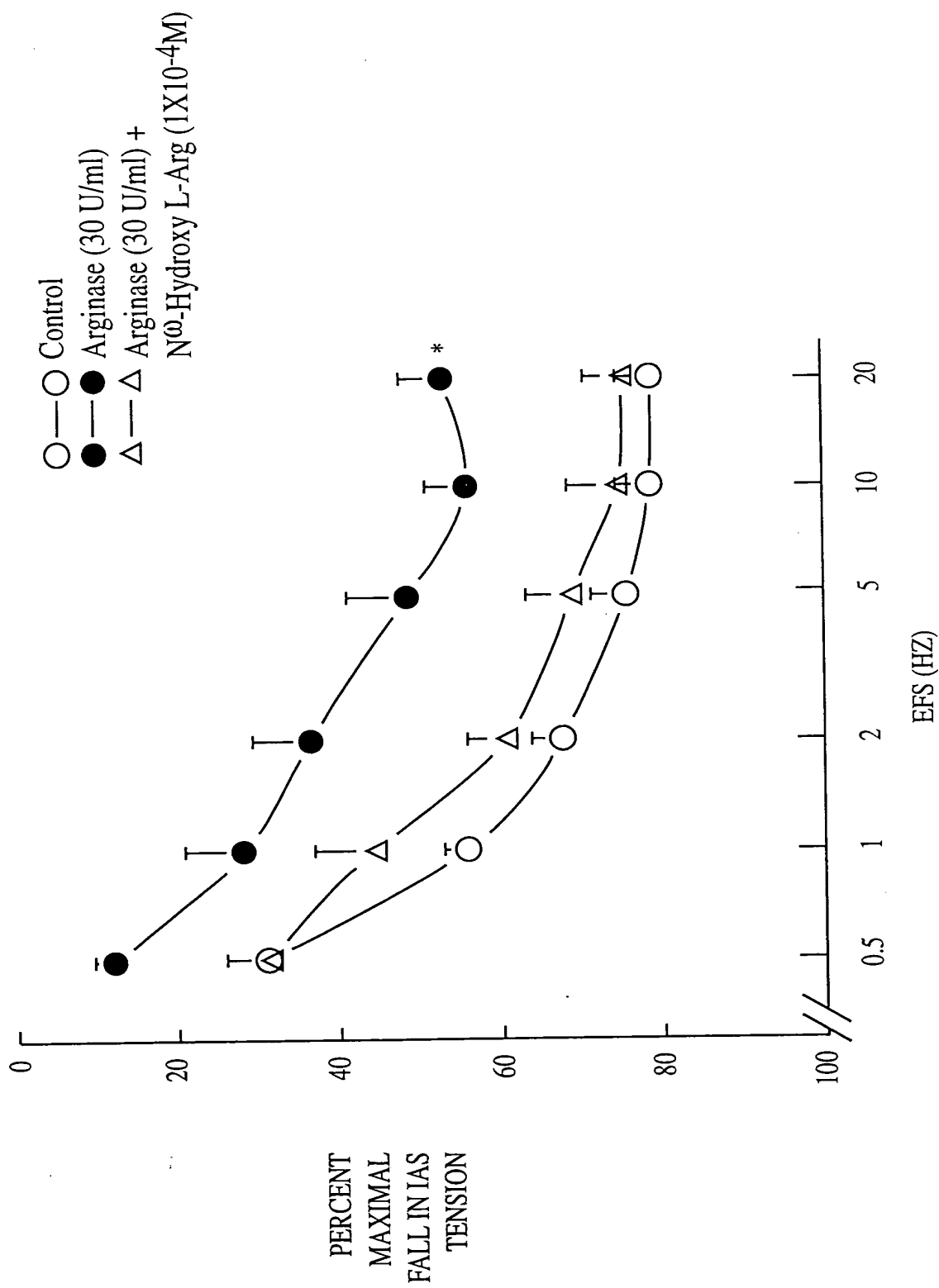


Fig. 18

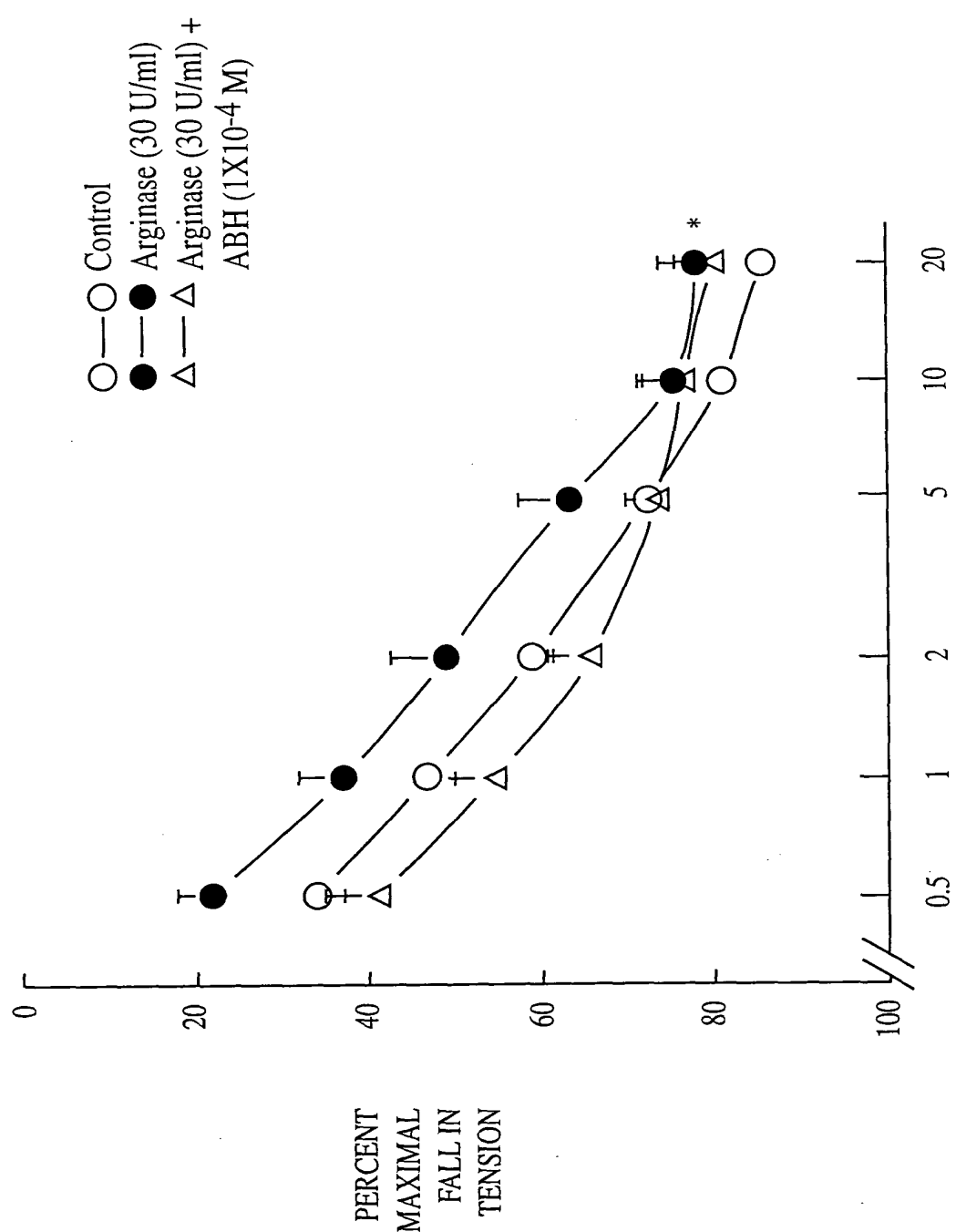


Fig. 19

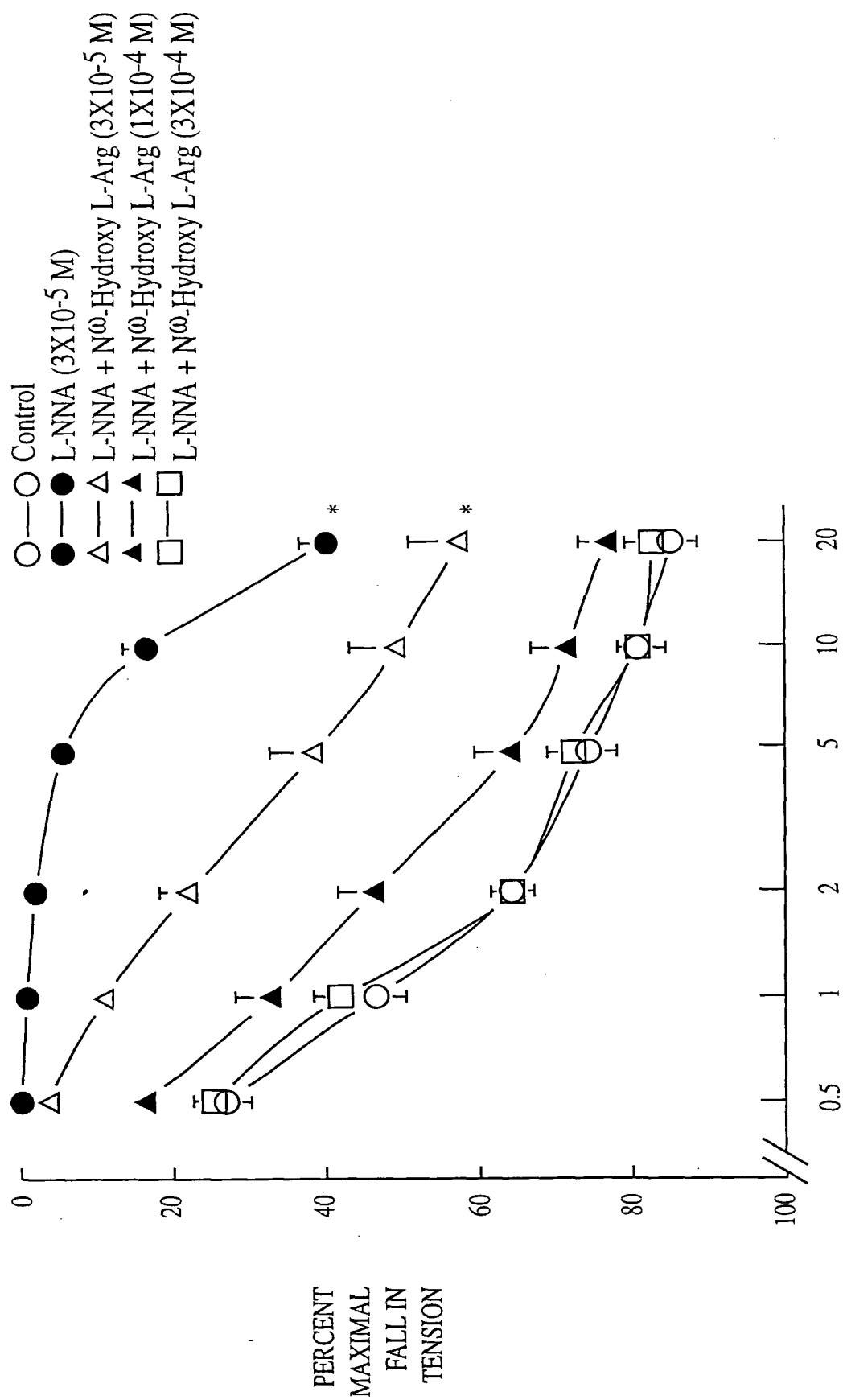


Fig. 20

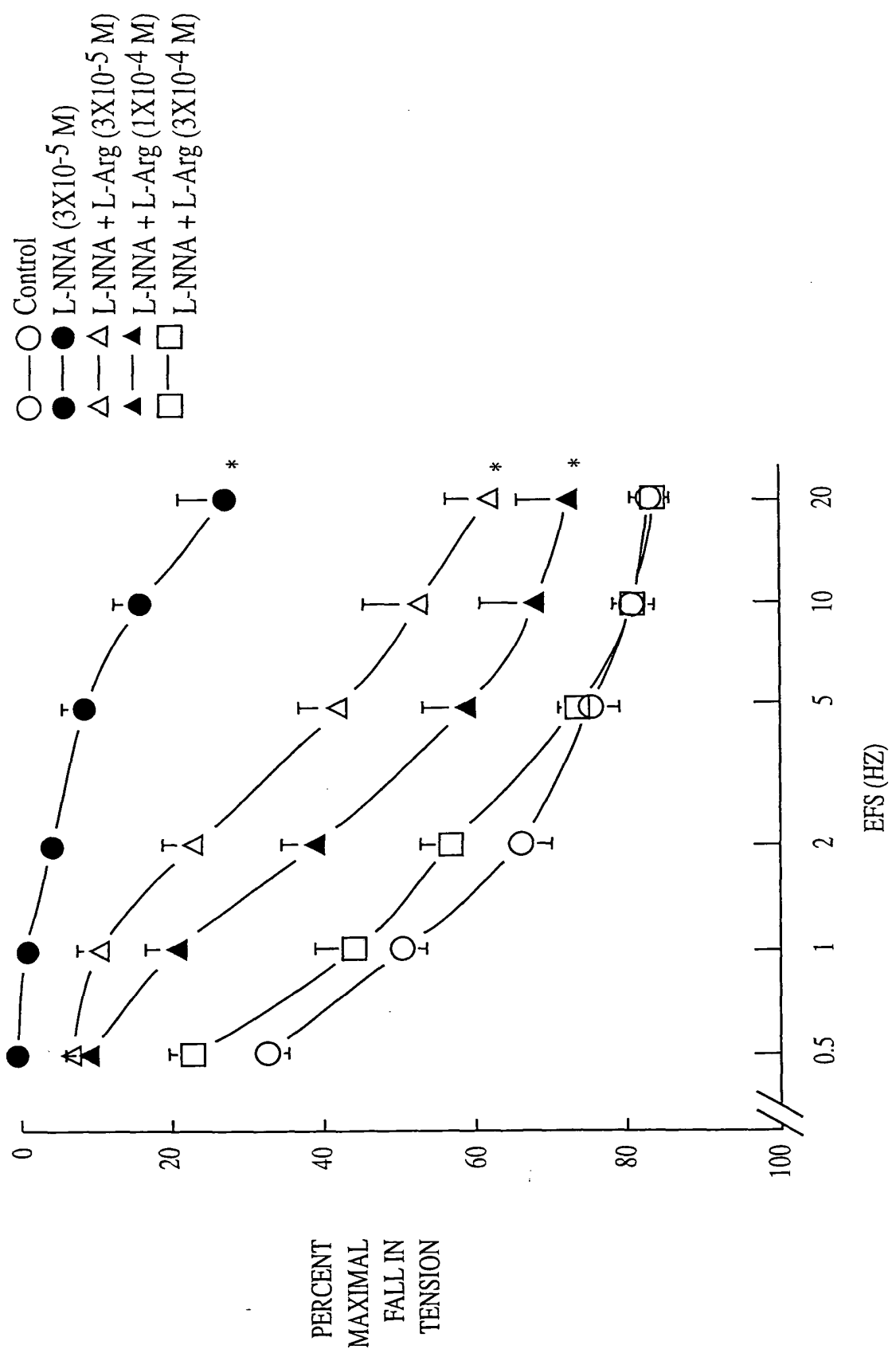


Fig. 21

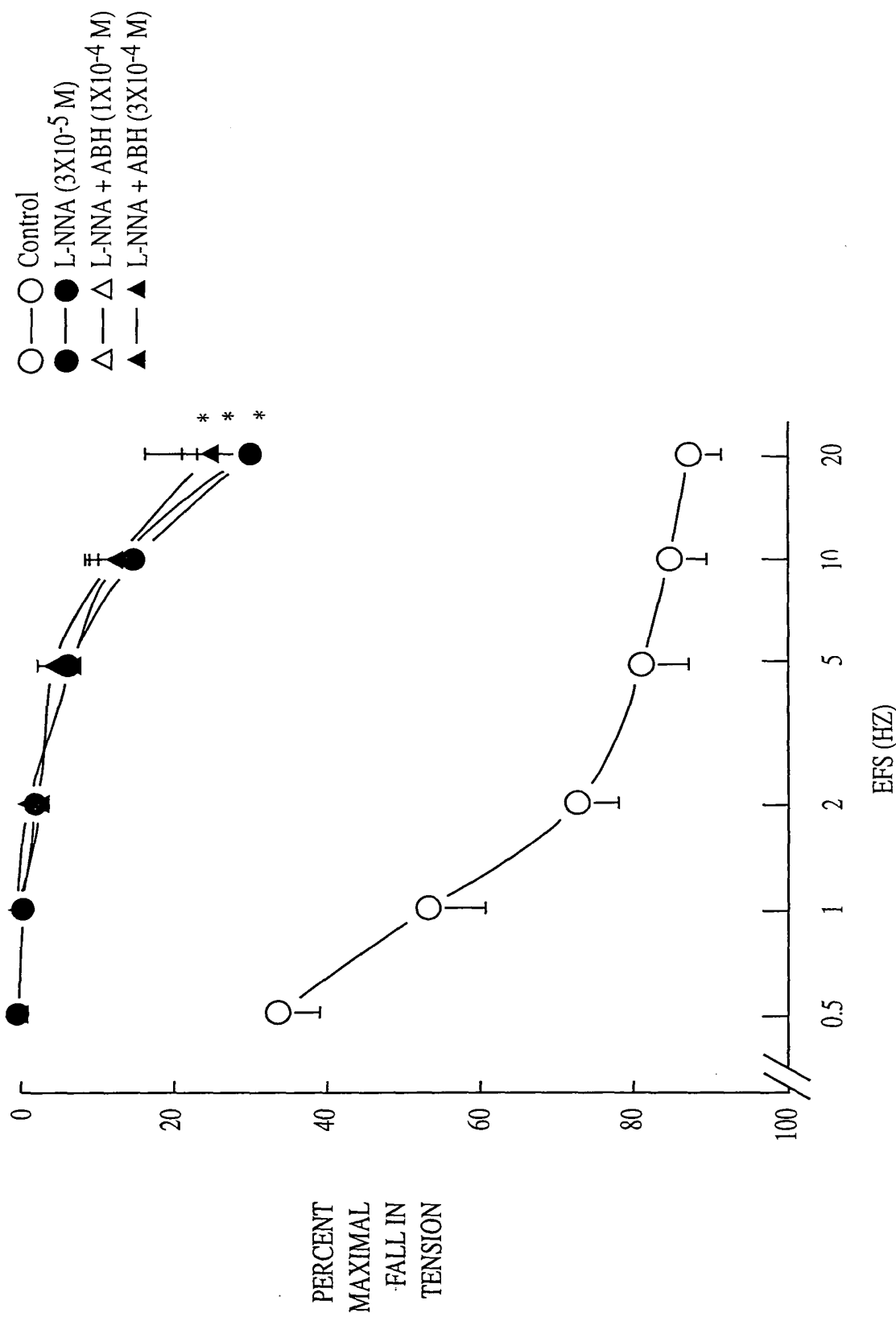


Fig. 22

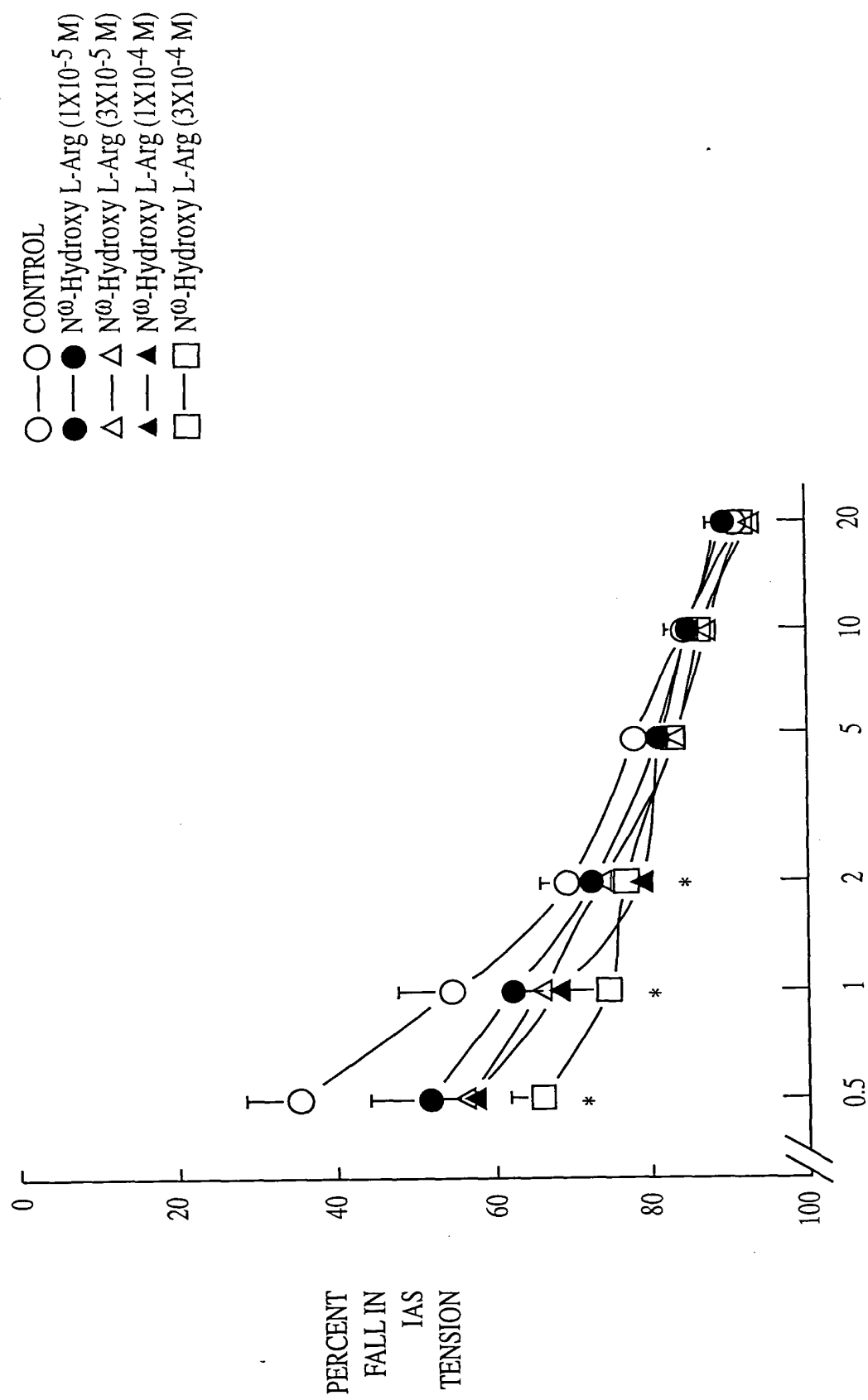


Fig. 23

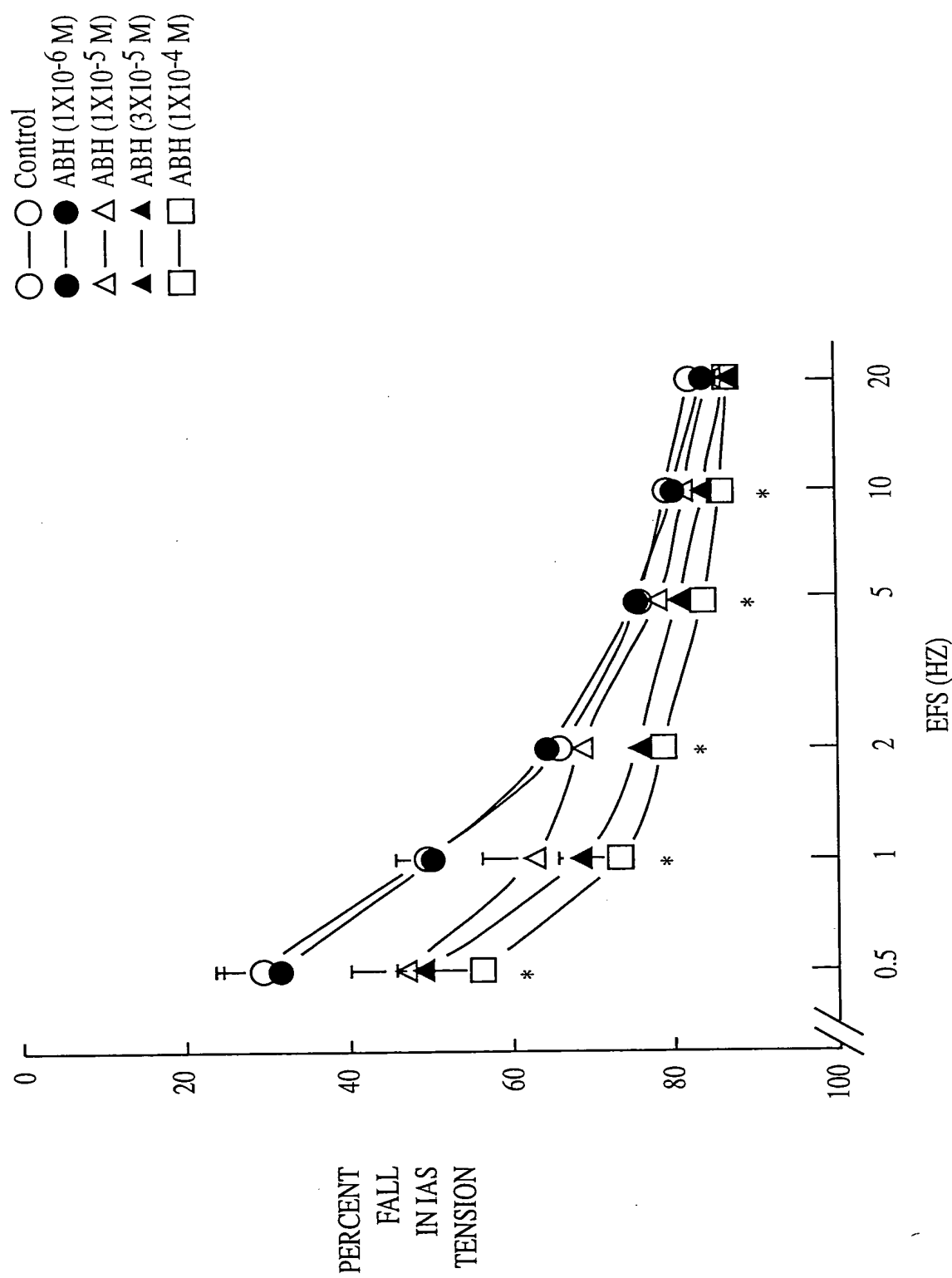


Fig. 24

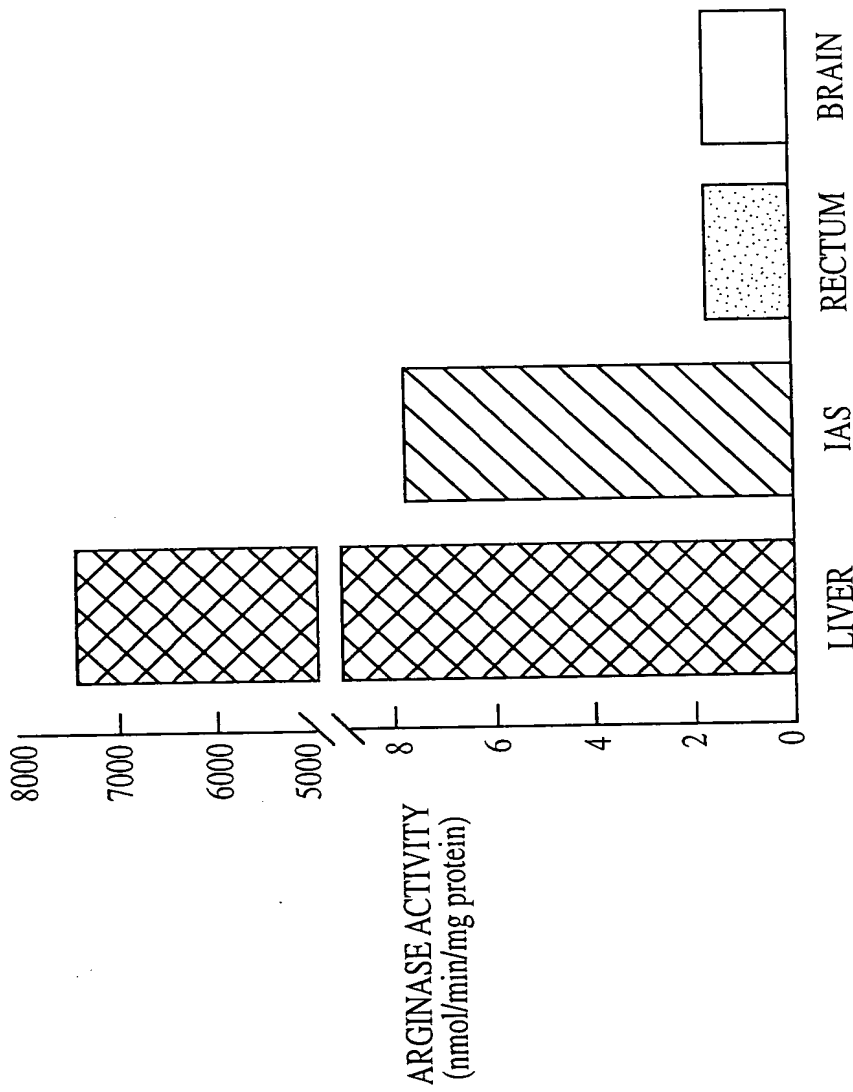


Fig. 25

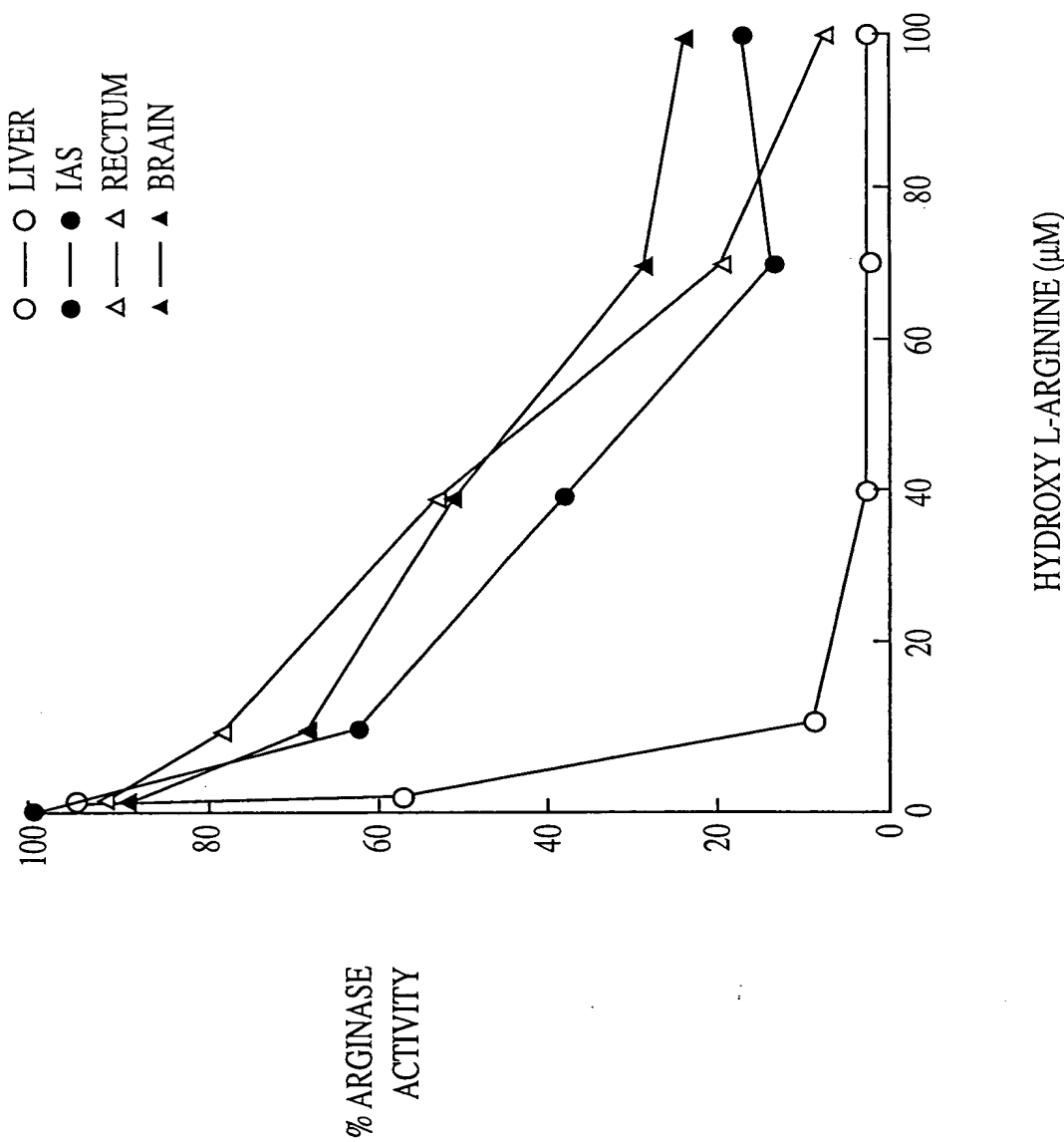


Fig. 26

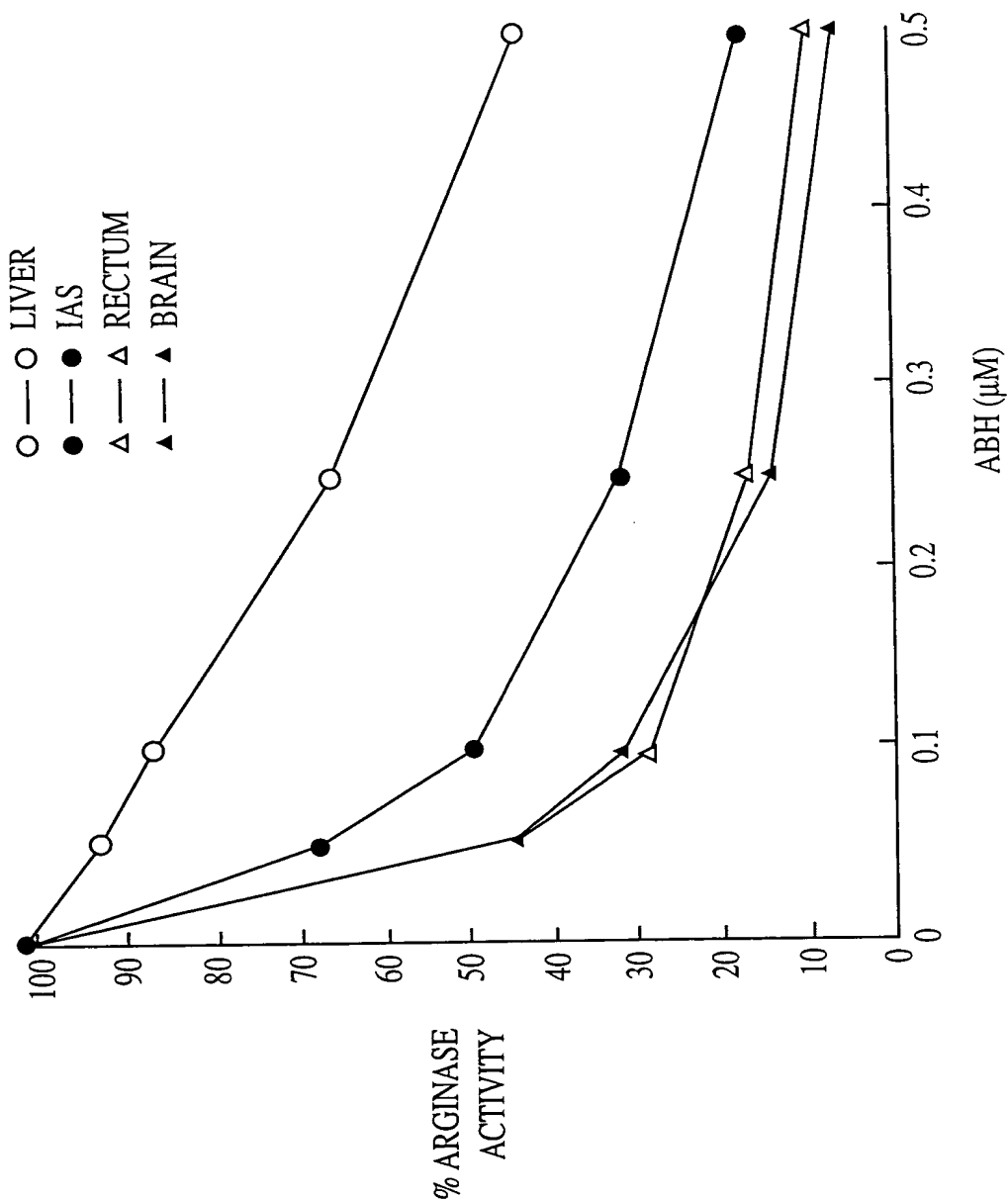


Fig. 27

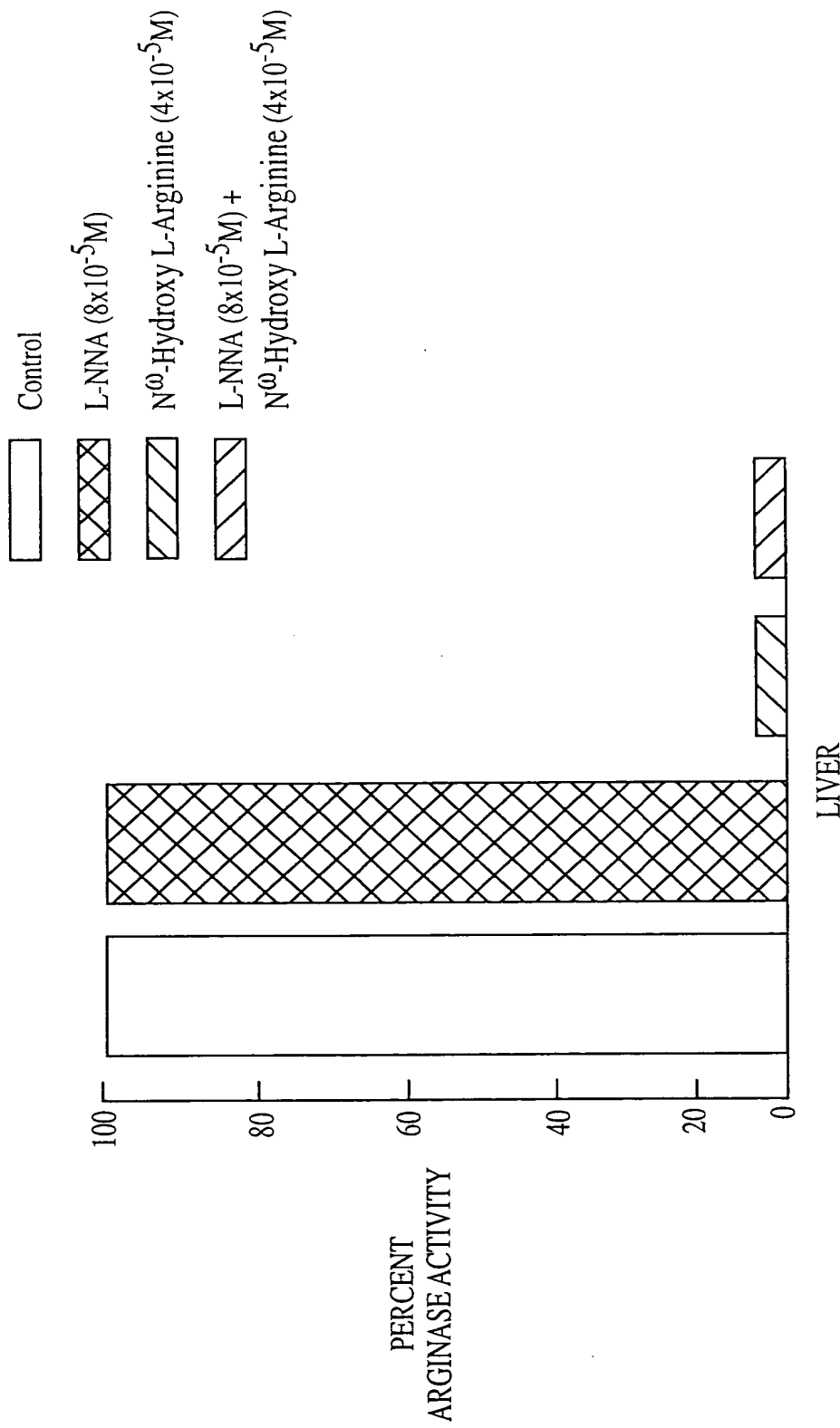


Fig. 28A

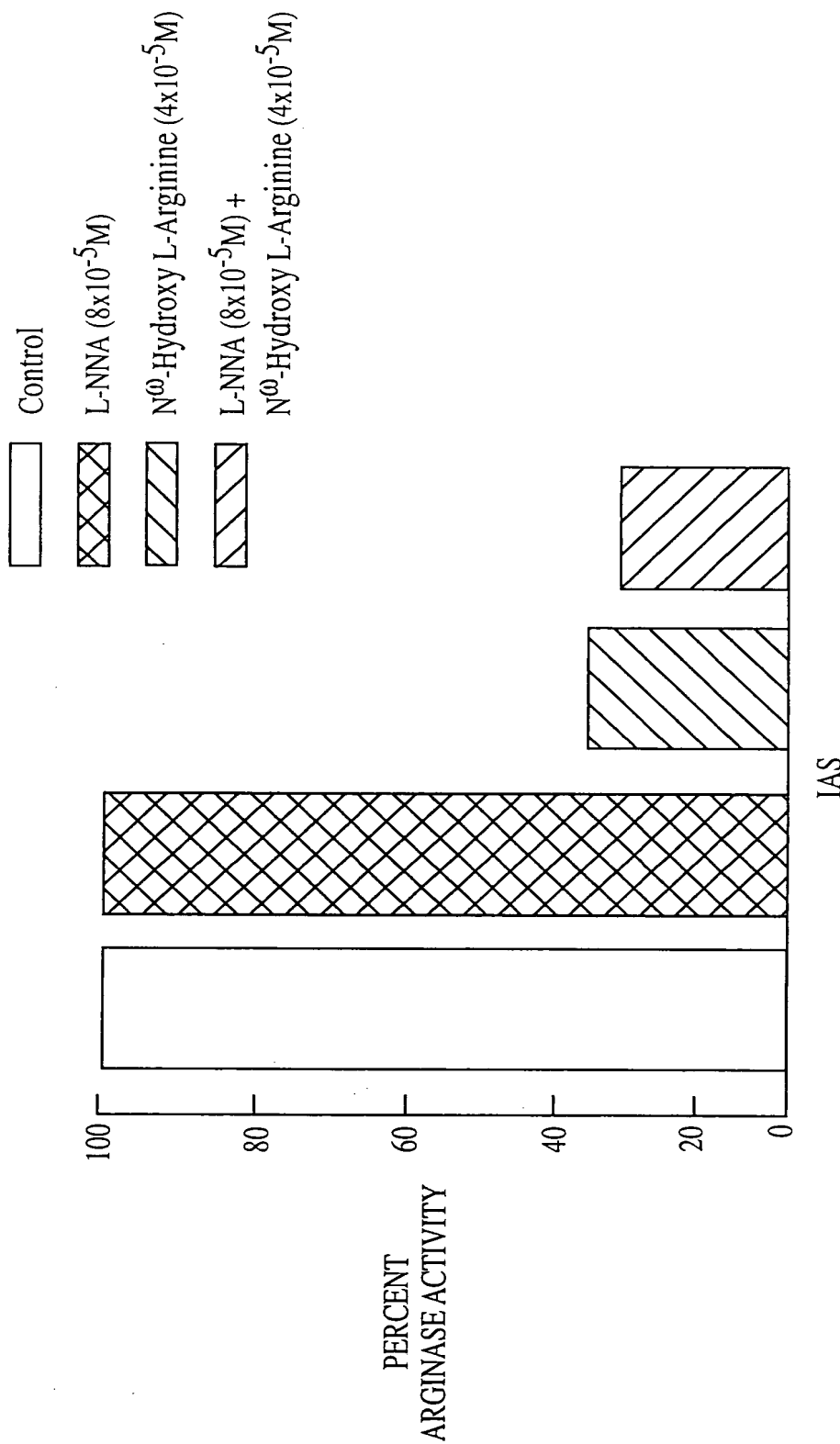


Fig. 28B

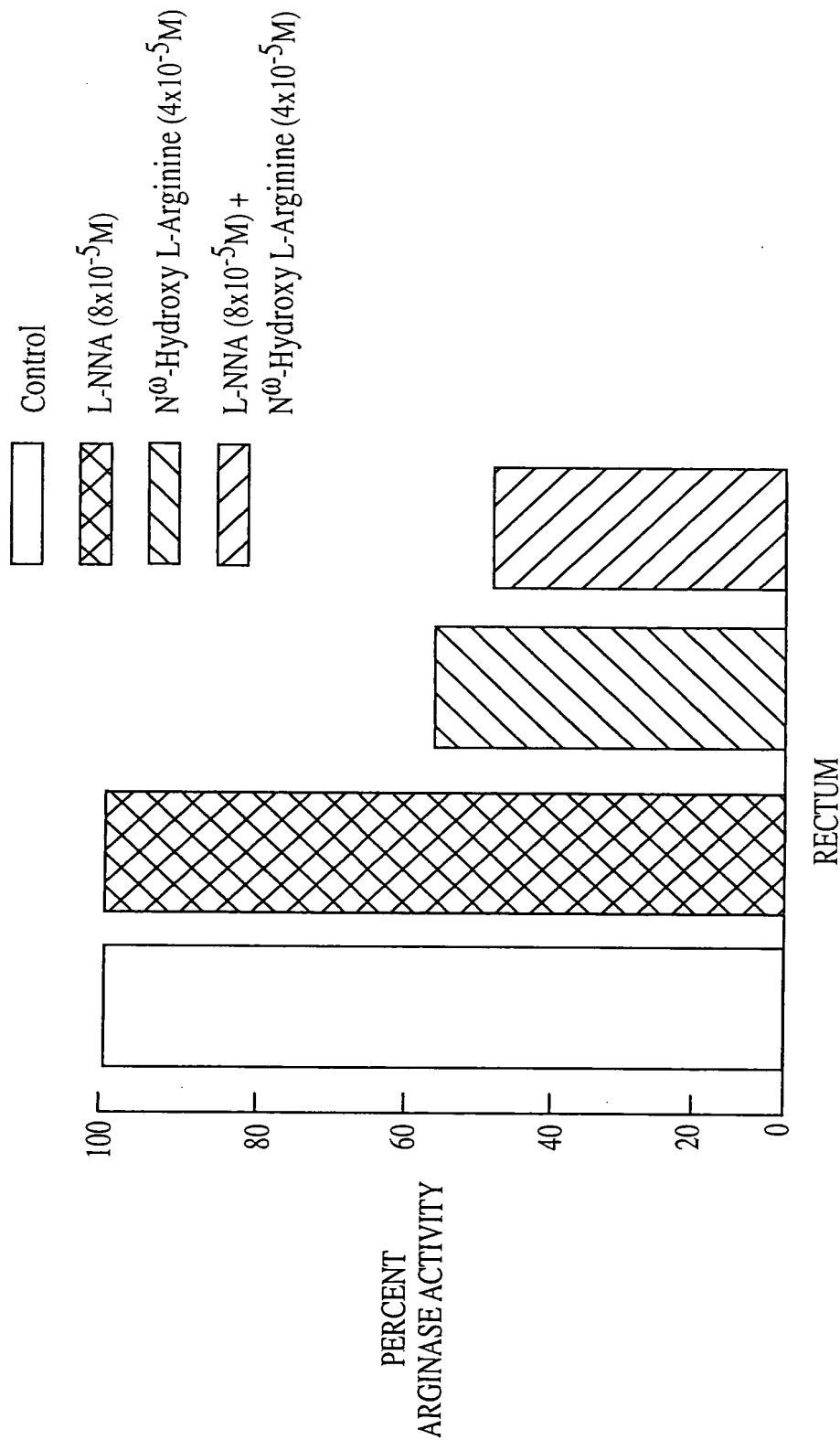


Fig. 28C

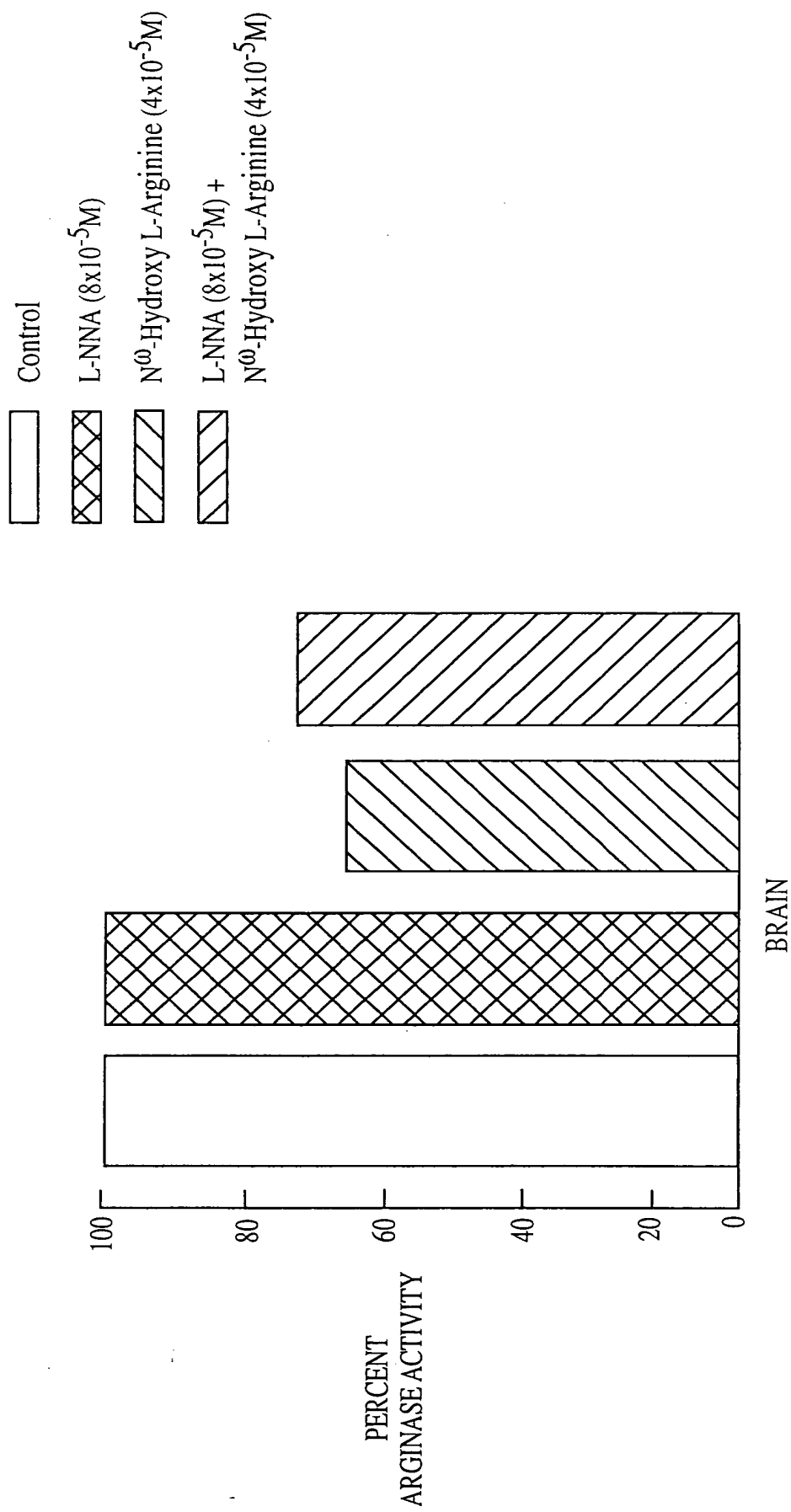


Fig. 28D

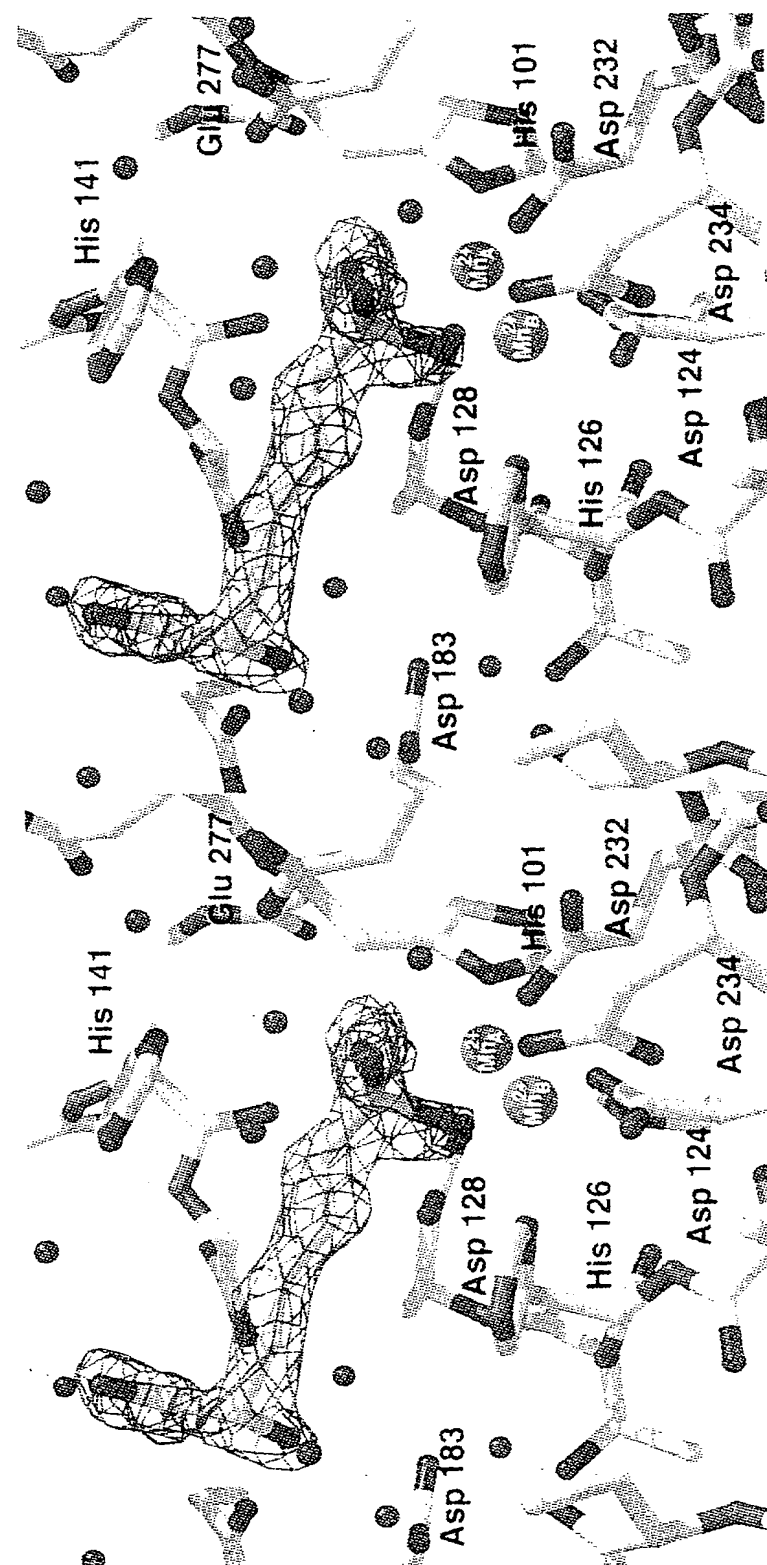


Fig. 29A

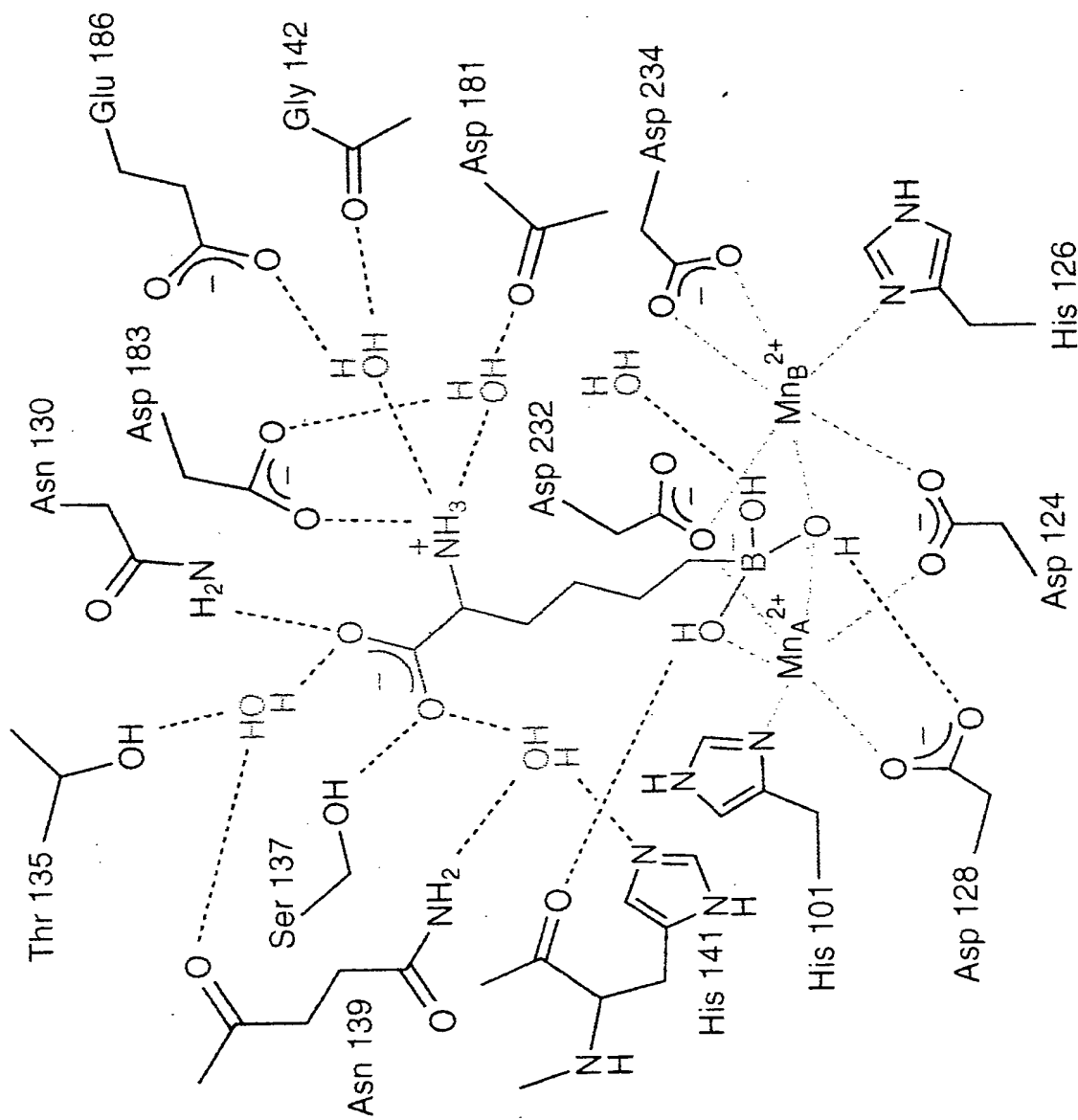


Fig. 29B

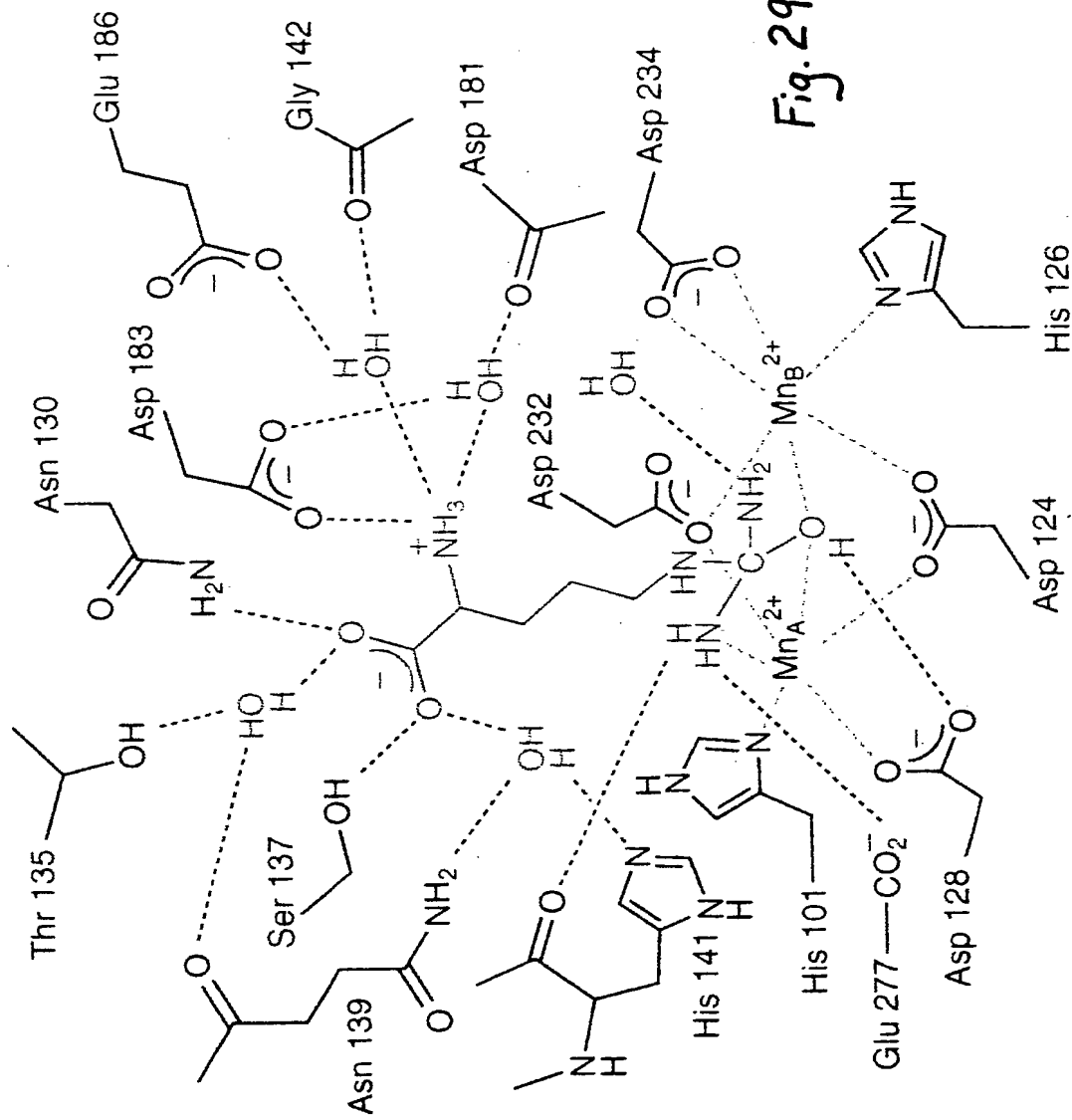


Fig.
30A

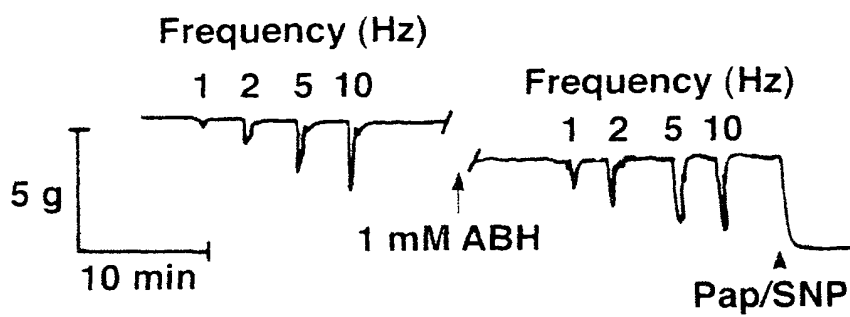


Fig.
30B

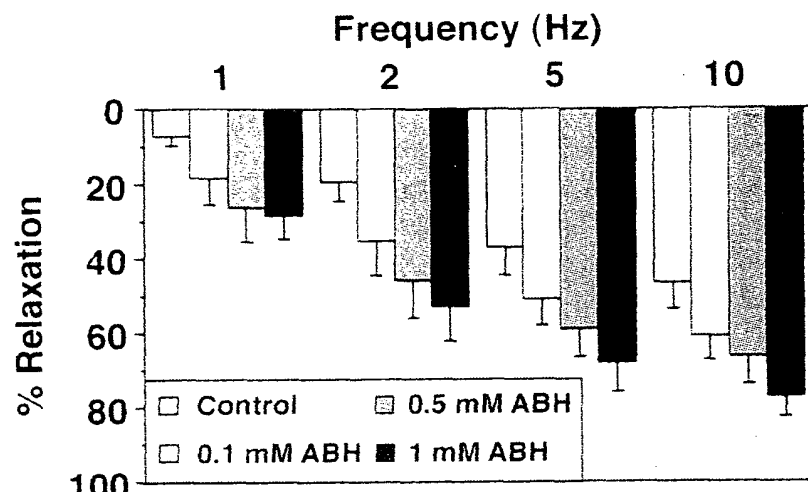


Fig.
30C

